

Министерство образования и науки Российской Федерации
Федеральное государственное автономное образовательное учреждение высшего
образования

САНКТ-ПЕТЕРБУРГСКИЙ НАЦИОНАЛЬНЫЙ ИССЛЕДОВАТЕЛЬСКИЙ
УНИВЕРСИТЕТ ИТМО

Факультет систем управления и робототехники

Лабораторная работа № 2 "Преобразование Фурье"

по дисциплине Частотные методы

Выполнил: студент гр. **R3242**

Мареев П. А.

Преподаватель: *Перегудин Алексей Алексеевич*

Санкт-Петербург, 2025

Содержание

1	Задание 1. Вещественное.	4
1.1	Прямоугольная функция.	5
1.1.1	Аналитическое выражение оригинала функции.	5
1.1.2	Аналитическое выражение Фурье-образа функции.	5
1.1.3	Построение графиков оригинала функции и ее Фурье-образа.	5
1.1.4	Проверка равенства Парсеваля.	10
1.1.5	Интерпретация результатов.	11
1.2	Треугольная функция.	13
1.2.1	Аналитическое выражение оригинала функции.	13
1.2.2	Аналитическое выражение Фурье-образа функции.	13
1.2.3	Построение графиков оригинала функции и ее Фурье-образа.	14
1.2.4	Проверка равенства Парсеваля.	19
1.2.5	Интерпретация результатов.	19
1.3	Кардинальный синус.	21
1.3.1	Аналитическое выражение оригинала функции.	21
1.3.2	Аналитическое выражение Фурье-образа функции.	21
1.3.3	Построение графиков оригинала функции и ее Фурье-образа.	21
1.3.4	Проверка равенства Парсеваля.	26
1.3.5	Интерпретация результатов.	26
1.4	Функция Гаусса.	28
1.4.1	Аналитическое выражение оригинала функции.	28
1.4.2	Аналитическое выражение Фурье-образа функции.	28
1.4.3	Построение графиков оригинала функции и ее Фурье-образа.	28
1.4.4	Проверка равенства Парсеваля.	33
1.4.5	Интерпретация результатов.	33
1.5	Двустороннее затухание.	36
1.5.1	Аналитическое выражение оригинала функции.	36
1.5.2	Аналитическое выражение Фурье-образа функции.	36
1.5.3	Построение графиков оригинала функции и ее Фурье-образа.	36
1.5.4	Проверка равенства Парсеваля.	41
1.5.5	Интерпретация результатов.	41
1.6	Выводы.	43

2	Задание 2. Комплексное.	44
2.1	Аналитическое выражение для Фурье-образа.	44
2.2	Построение графиков оригинала функции.	45
2.3	Построение графиков вещественной и мнимой компонент Фурье-образа.	48
2.4	Построение графиков модуля Фурье-образа.	51
2.5	Выводы.	54
3	Задание 3. Музыкальное.	55
3.1	Выводы	57
4	Выводы по лабораторной работе	58

Вступление

Преобразование Фурье является одним из фундаментальных инструментов математического анализа, широко применяемым в физике, инженерии, обработке сигналов и многих других областях. Его суть заключается в разложении произвольной функции времени на суперпозицию гармонических компонент, что позволяет перейти от временного представления сигнала к частотному. Такой подход открывает возможность анализа спектральных характеристик сигналов, выявления скрытых периодичностей и решения дифференциальных уравнений, описывающих волновые процессы.

Целью данной лабораторной работы является практическое освоение методов преобразования Фурье, исследование его свойств на примере классических функций, а также применение полученных знаний для анализа реальных данных. Работа разделена на три задания, каждое из которых направлено на углубление понимания ключевых аспектов преобразования. В первом задании изучаются Фурье-образы базовых функций, проводится проверка равенства Парсеваля и анализ влияния параметров на форму спектра. Второе задание посвящено исследованию эффекта временного сдвига функции и его отражения в частотной области. Третье задание имеет прикладной характер: с помощью численного преобразования Фурье анализируется аудиозапись музыкального аккорда, что позволяет связать математические методы с реальными задачами обработки звука.

Выполнение работы предполагает сочетание аналитических вычислений, численных методов и визуализации данных. Это способствует формированию навыков работы с интегральными преобразованиями, пониманию взаимосвязи между временной и частотной областями, а также развитию критического мышления при интерпретации результатов.

Лабораторная работа не только закрепляет теоретические знания, но и демонстрирует практическую значимость преобразования Фурье в решении актуальных инженерных и научных задач, таких как фильтрация сигналов, сжатие данных и спектральный анализ.

1 Задание 1. Вещественное.

В задании используется унитарное преобразование Фурье к угловой частоте ω .

Рассмотрим следующие функции $f : \mathbb{R} \rightarrow \mathbb{R}$. Для каждой приведенной функции $f(t)$ выполним исследование ее Фурье-образа $\hat{f}(\omega)$ и свойств преобразования Фурье.

Приведем основные формулы, которые характеризуют унитарное преобразование Фурье к угловой частоте ω . Запишем формулу прямого преобразования Фурье.

$$\hat{f}(\omega) = \frac{1}{\sqrt{2\pi}} \int_{-\infty}^{\infty} f(t) e^{-i\omega t} dt, \quad (1)$$

где \hat{f} – Фурье-образ исходной функции, причем

$$\hat{f} : \mathbb{R} \rightarrow \mathbb{C}.$$

Представим также и формулу обратного преобразования Фурье.

$$f(t) = \frac{1}{\sqrt{2\pi}} \int_{-\infty}^{\infty} \hat{f}(\omega) e^{i\omega t} d\omega, \quad (2)$$

где f – исходная функция следующего вида

$$\hat{f} : \mathbb{R} \rightarrow \mathbb{C}.$$

1.1 Прямоугольная функция.

1.1.1 Аналитическое выражение оригинала функции.

Приведем выражение исходной функции.

$$f(t) = \begin{cases} a, & |t| \leq b, \\ 0, & |t| > b \end{cases}$$

1.1.2 Аналитическое выражение Фурье-образа функции.

Получим аналитическое выражение Фурье-образа рассматриваемой функции при помощи формулы (1). Заметим, что в данном случае пределы интегрирования будут конечными, поскольку функция равна нулю почти везде на вещественной оси.

$$\begin{aligned} \hat{f}(\omega) &= \frac{1}{\sqrt{2\pi}} \int_{-\infty}^{\infty} f(t) e^{-i\omega t} dt = \frac{1}{\sqrt{2\pi}} \int_{-b}^b a e^{-i\omega t} dt = -\frac{1}{\sqrt{2\pi}} \cdot \left(\frac{a e^{-i\omega t}}{i\omega} \right) \Big|_{-b}^b = \\ &= \frac{a (e^{i\omega b} - e^{-i\omega b})}{i\omega \sqrt{2\pi}} \end{aligned}$$

1.1.3 Построение графиков оригинала функции и ее Фурье-образа.

Выберем четыре набора значения параметров $a, b > 0$.

1. $a = 1, b = 4$
2. $a = 2, b = 6$
3. $a = 5, b = 3$
4. $a = 4, b = 7$

Приведем графики оригинала функции $f(t)$ и Фурье-образа $\hat{f}(\omega)$ для выбранного набора параметров. Выполним программную [интерпретацию](#) формулы (1) и получим требуемые графические результаты.

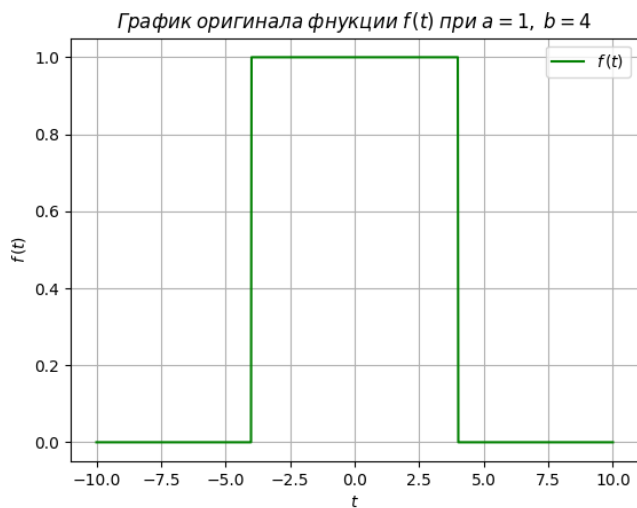


Рис. 1. График $f(t)$ при $a = 1$, $b = 4$.

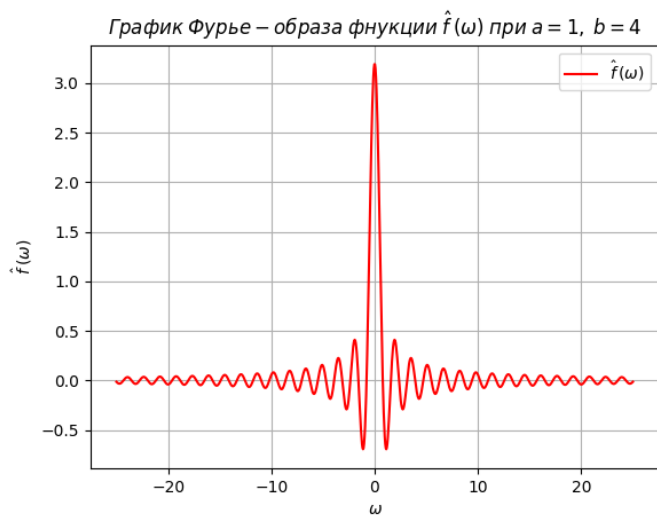


Рис. 2. График $\hat{f}(\omega)$ при $a = 1$, $b = 4$.

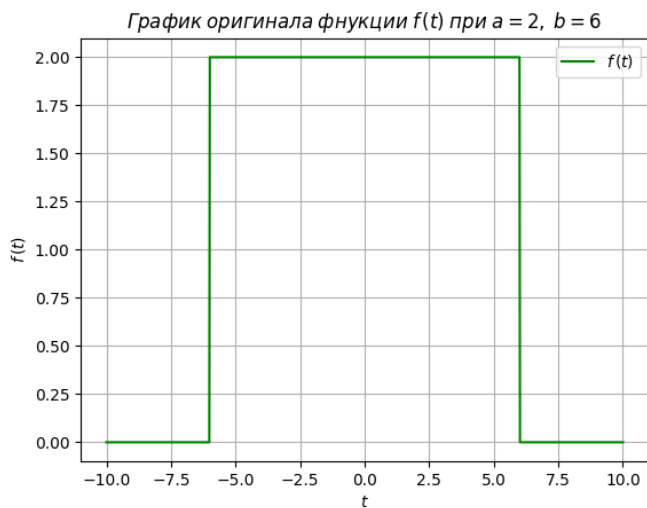


Рис. 3. График $f(t)$ при $a = 2$, $b = 6$.

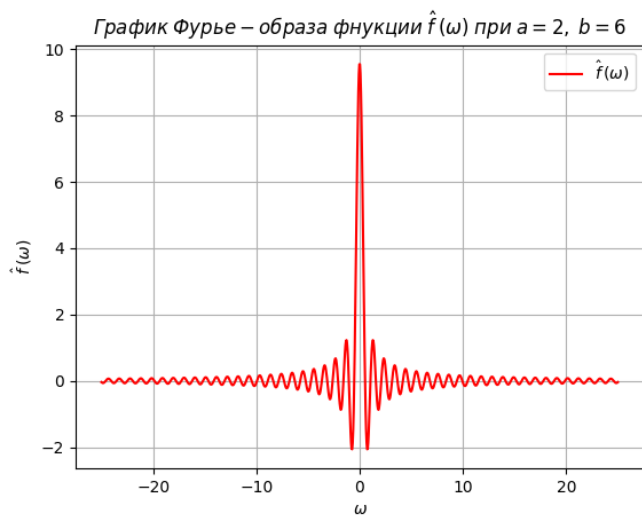


Рис. 4. График $\hat{f}(\omega)$ при $a = 2$, $b = 6$.

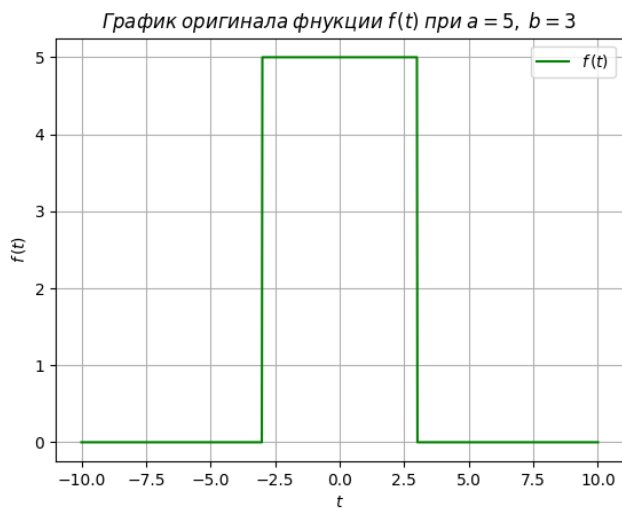


Рис. 5. График $f(t)$ при $a = 5$, $b = 3$.

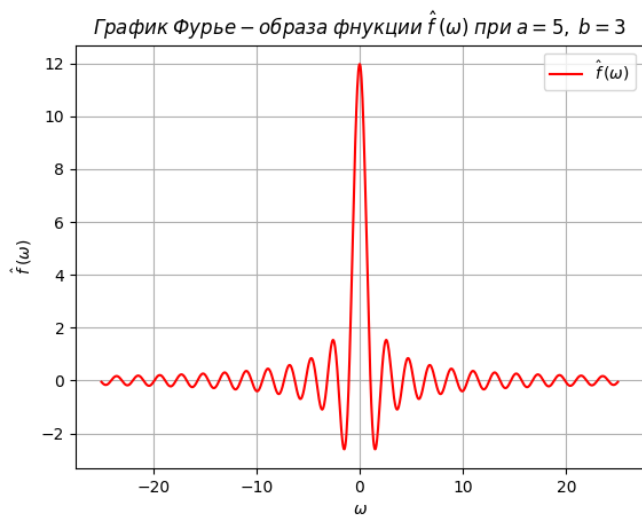


Рис. 6. График $\hat{f}(\omega)$ при $a = 5$, $b = 3$.

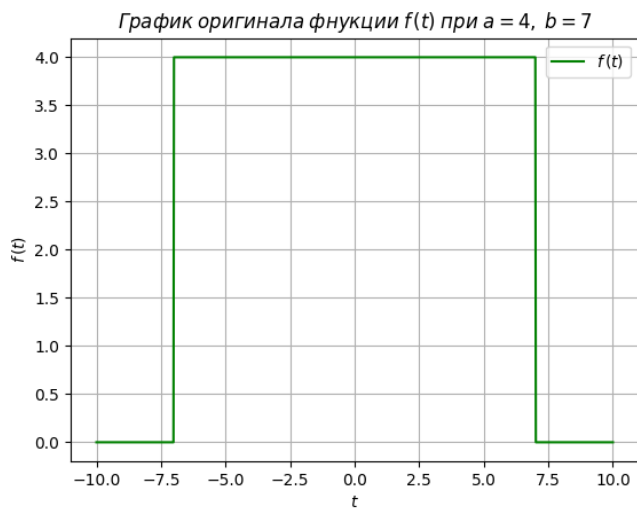


Рис. 7. График $f(t)$ при $a = 4$, $b = 7$.

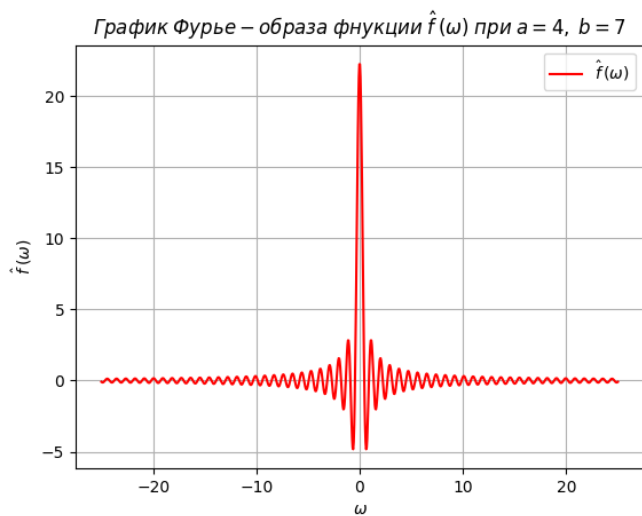


Рис. 8. График $\hat{f}(\omega)$ при $a = 4$, $b = 7$.

1.1.4 Проверка равенства Парсеваля.

Запишем равенство, которое требуется проверить в каждом из пунктов данного задания.

$$\|f\|_2 = \|\mathcal{F}f\|_2 \quad (3)$$

Оно утверждает, что энергия сигнала сохраняется при переходе из временной области в частотную. Рассмотрим отдельно правую и левую части этого равенства. Справа от знака равно расположен квадрат нормы исходной функции, который определяется естественным образом.

$$\|f\|_2^2 = \int_{-\infty}^{\infty} |f(t)|^2 dt$$

С левой стороны расположен квадрат нормы Фурье-образа, определяемый аналогичным способом.

$$\|\mathcal{F}f\|_2^2 = \int_{-\infty}^{\infty} |\hat{f}(\omega)|^2 d\omega,$$

где $\hat{f}(\omega)$ – преобразование Фурье, заданное формулой (1).

Преобразуем исходное выражение и выполним интегрирование в пределах от $-T$ до T по времени и от $-\Omega$ до Ω по частоте. Тогда компоненты равенства (3) можно записать следующим образом.

$$\begin{aligned} \|f\|_2^2 &= \int_{-T}^T |f(t)|^2 dt \\ \|\mathcal{F}f\|_2^2 &= \int_{-\Omega}^{\Omega} |\hat{f}(\omega)|^2 d\omega \end{aligned}$$

Воспользуемся программой и приведем результаты проверки равенства Парсеваля в виде таблицы.

a	b	$\ f\ _2$	$\ \mathcal{F}f\ _2$
1	4	8.0080	7.9766
2	6	48.0481	47.9219
5	3	150.1502	149.3606
4	7	224.2242	223.7229

Таблица 1. Результаты проверки равенства Парсеваля.

Видно, что разница между левой и правой частями равенства достаточно близка к нулю. Таким образом, равенство Парсеваля выполняется в данном случае с приемлемой точностью.

1.1.5 Интерпретация результатов.

Сделаем выводы на основании проделанной работы.

- **Роль параметров:**

- Параметр a определяет амплитуду прямоугольного импульса. Увеличение a приводит к пропорциональному росту значений функции в пределах $[-b, b]$, что напрямую влияет на амплитуду Фурье-образа.
- Параметр b задаёт ширину импульса во временной области. Чем больше b , тем шире интервал, на котором функция отлична от нуля. Это вызывает сужение основного лепестка Фурье-образа (функции $\text{sinc}(\omega b)$), так как спектральная плотность концентрируется вблизи нулевой частоты.

- **Принцип неопределённости:**

- Принцип проявляется в обратной зависимости между шириной импульса во времени ($2b$) и шириной основного лепестка спектра ($\sim \frac{1}{b}$).
- Увеличение b (расширение импульса) уменьшает ширину спектра, улучшая частотную локализацию, но ухудшая временную. Уменьшение b даёт противоположный эффект.

- **Свойства преобразования Фурье:**

- **Масштабирование:** Сжатие импульса ($b \rightarrow 0$) расширяет спектр ($\Delta\omega \rightarrow \infty$), что иллюстрирует свойство дуальности времени и частоты.
- **Линейность:** Амплитуда Фурье-образа пропорциональна a , что соответствует линейности преобразования.
- **Равенство Парсеваля:** Энергия сигнала сохраняется в частотной области, подтверждая унитарность преобразования.

1.2 Треугольная функция.

1.2.1 Аналитическое выражение оригинала функции.

Запишем выражение рассматриваемой функции.

$$f(t) = \begin{cases} a - |at/b|, & |t| \leq b, \\ 0, & |t| > b \end{cases}$$

1.2.2 Аналитическое выражение Фурье-образа функции.

Найдем аналитическое выражение Фурье-образа исходной функции при аналогично предыдущему пункту, по формулу (1).

$$\begin{aligned} \hat{f}(\omega) &= \frac{1}{\sqrt{2\pi}} \int_{-\infty}^{\infty} f(t) e^{-i\omega t} dt = \frac{1}{\sqrt{2\pi}} \int_{-b}^b \left(a - \left| \frac{at}{b} \right| \right) \cdot e^{-i\omega t} dt = \\ &= \frac{1}{\sqrt{2\pi}} \int_{-b}^b a e^{-i\omega t} dt - \frac{1}{\sqrt{2\pi}} \int_{-b}^b \left| \frac{at}{b} \right| \cdot e^{-i\omega t} dt = \\ &= \frac{a(e^{i\omega b} - e^{-i\omega b})}{i\omega\sqrt{2\pi}} + \frac{a}{b\sqrt{2\pi}} \left(\int_{-b}^0 t e^{-i\omega t} dt - \int_0^b t e^{-i\omega t} dt \right) \quad \equiv \end{aligned}$$

Найдем соответствующий неопределенный интеграл.

$$\begin{aligned} \int t e^{-i\omega t} dt &= \left| \begin{array}{l} u = t \Rightarrow du = dt \\ dv = e^{-i\omega t} dt \Rightarrow v = -\frac{e^{-i\omega t}}{i\omega} \end{array} \right| = -\frac{t e^{-i\omega t}}{i\omega} + \int \frac{e^{-i\omega t}}{i\omega} dt = \\ &= -\frac{t e^{-i\omega t}}{i\omega} + \frac{e^{-i\omega t}}{\omega^2} + C = \frac{i\omega t + 1}{\omega^2 e^{i\omega t}} + C \end{aligned}$$

Вычислим значения определенных интегралов.

$$\begin{aligned} \int_{-b}^0 t e^{-i\omega t} dt &= \frac{i\omega t + 1}{\omega^2 e^{i\omega t}} \Big|_{-b}^0 = \\ &= \frac{i\omega \cdot 0 + 1}{\omega^2 e^{i\omega \cdot 0}} - \frac{i\omega \cdot (-b) + 1}{\omega^2 e^{i\omega \cdot (-b)}} = \frac{1}{\omega^2} - \frac{1 - i\omega b}{\omega^2 e^{-i\omega b}} \end{aligned}$$

$$\begin{aligned} \int_0^b t e^{-i\omega t} dt &= \left. \frac{i\omega t + 1}{\omega^2 e^{i\omega t}} \right|_0^b = \\ &= \frac{i\omega \cdot b + 1}{\omega^2 e^{i\omega \cdot b}} - \frac{i\omega \cdot 0 + 1}{\omega^2 e^{i\omega \cdot 0}} = \frac{1 + i\omega b}{\omega^2 e^{i\omega b}} - \frac{1}{\omega^2} \end{aligned}$$

Найдем значение исходного выражения.

$$\begin{aligned} \boxed{=} & \frac{a(e^{i\omega b} - e^{-i\omega b})}{i\omega\sqrt{2\pi}} + \frac{a}{b\sqrt{2\pi}} \left(\frac{1}{\omega^2} - \frac{1 - i\omega b}{\omega^2 e^{-i\omega b}} - \frac{1 + i\omega b}{\omega^2 e^{i\omega b}} + \frac{1}{\omega^2} \right) = \\ &= \frac{a(e^{i\omega b} - e^{-i\omega b})}{i\omega\sqrt{2\pi}} + \frac{a}{b\sqrt{2\pi}} \left(\frac{2}{\omega^2} - \frac{e^{i\omega b}(1 - i\omega b)}{\omega^2} - \frac{1 + i\omega b}{\omega^2 e^{i\omega b}} \right) = \\ &= \frac{a(e^{i\omega b} - e^{-i\omega b})}{i\omega\sqrt{2\pi}} + \frac{a}{\omega^2 b\sqrt{2\pi}} \left(2 - e^{i\omega b}(1 - i\omega b) - \frac{1 + i\omega b}{e^{i\omega b}} \right) = \\ &= \frac{a}{\omega^2 b\sqrt{2\pi}} (-i\omega b e^{i\omega b} + i\omega b e^{-i\omega b} + 2 - e^{i\omega b} + i\omega b e^{i\omega b} - e^{-i\omega b} - i\omega b e^{-i\omega b}) = \\ &= \frac{a}{\omega^2 b\sqrt{2\pi}} (2 - e^{i\omega b} - e^{-i\omega b}) \end{aligned}$$

1.2.3 Построение графиков оригинала функции и ее Фурье-образа.

Построим графики оригинала функции $f(t)$ и Фурье-образа $\hat{f}(\omega)$, используя ранее выбранный набор [параметров](#).

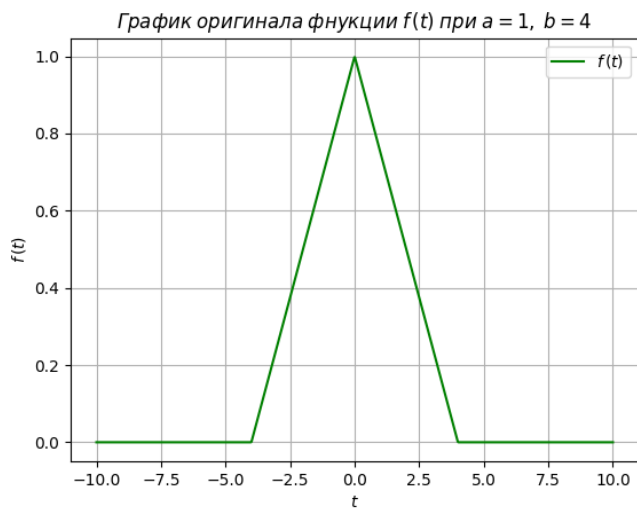


Рис. 9. График $f(t)$ при $a = 1$, $b = 4$.

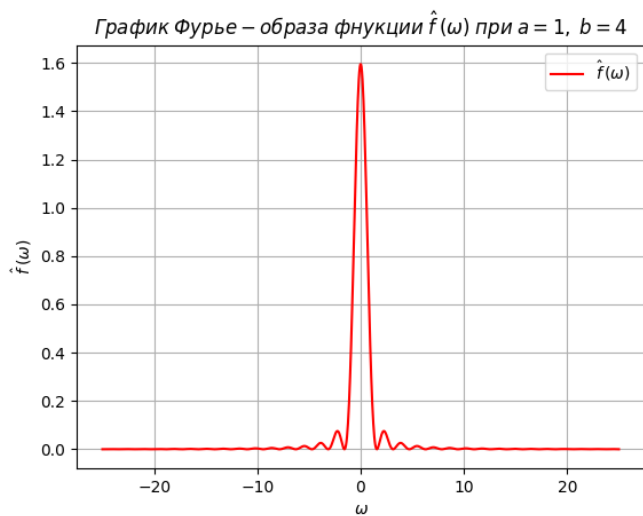


Рис. 10. График $\hat{f}(\omega)$ при $a = 1$, $b = 4$.

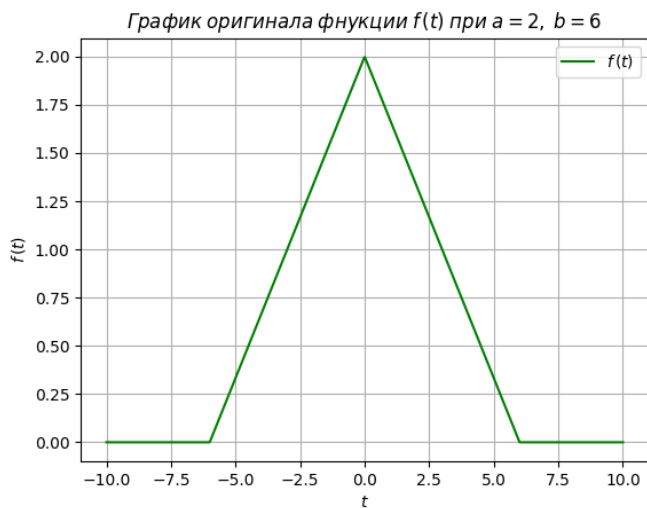


Рис. 11. График $f(t)$ при $a = 2$, $b = 6$.

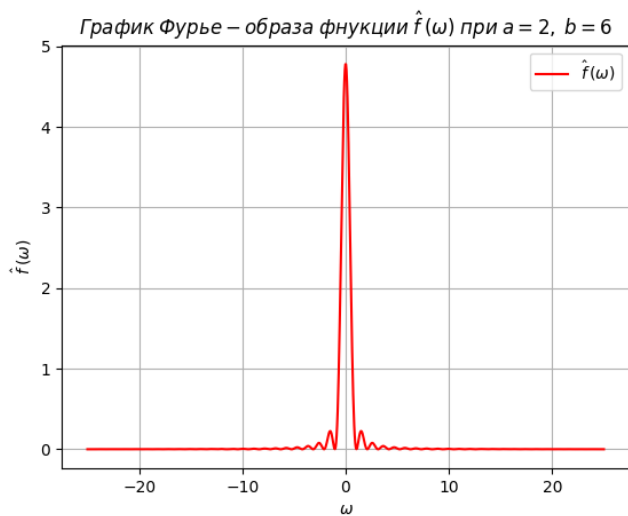
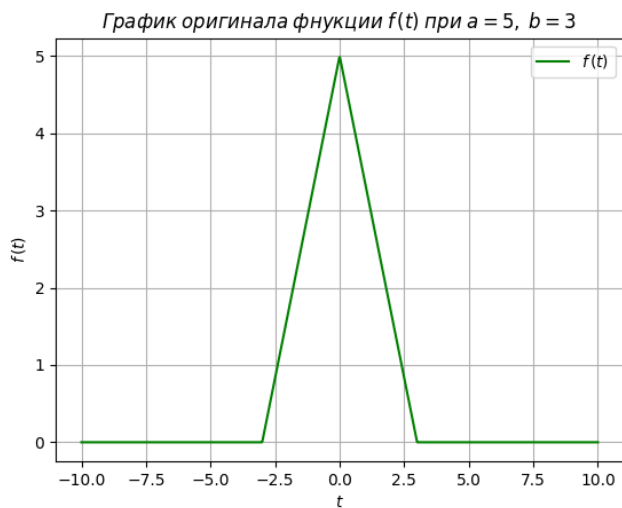
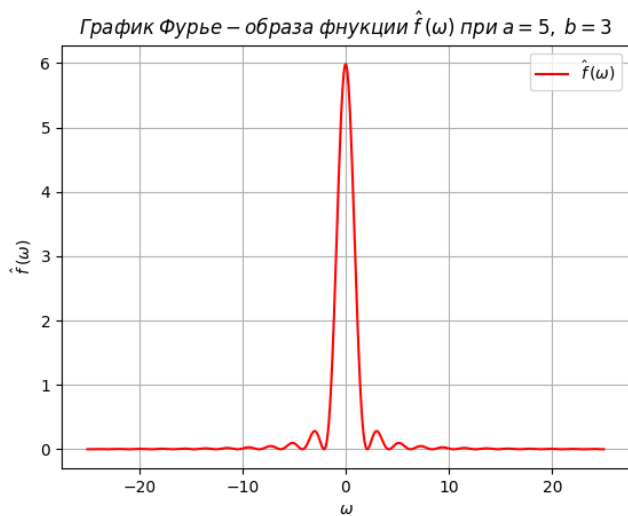


Рис. 12. График $\hat{f}(\omega)$ при $a = 2$, $b = 6$.

Рис. 13. График $f(t)$ при $a = 5$, $b = 3$.Рис. 14. График $\hat{f}(\omega)$ при $a = 5$, $b = 3$.

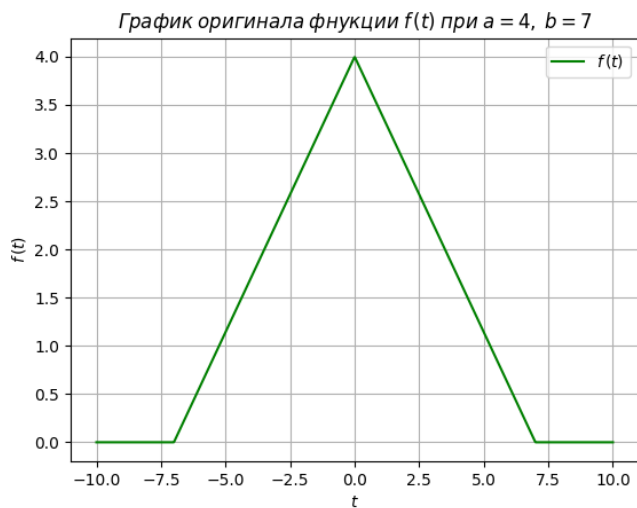


Рис. 15. График $f(t)$ при $a = 4$, $b = 7$.

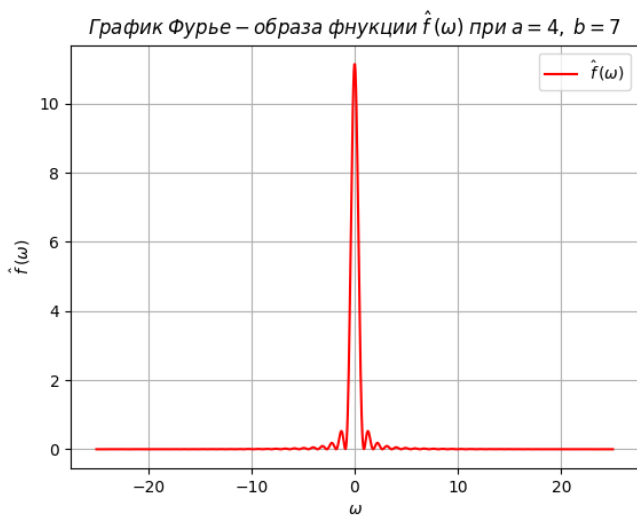


Рис. 16. График $\hat{f}(\omega)$ при $a = 4$, $b = 7$.

1.2.4 Проверка равенства Парсевалья.

Проверим равенство Парсевалья программным путем, выполним все действия аналогично этому [пункту](#). Представим результаты в виде [таблицы](#).

a	b	$\ f\ _2$	$\ \mathcal{F}f\ _2$
1	4	2.6666	2.6666
2	6	15.9999	15.9999
5	3	49.9994	49.9992
4	7	74.6665	74.6665

Таблица 2. Результаты проверки равенства Парсевалья.

Заметим, что значения совпадают с точностью до десятитысячных. Иначе говоря, равенство Парсевалья выполняется в данном случае с высокой точностью.

1.2.5 Интерпретация результатов.

Приведем выводы, которые можно сделать на основе данного пункта задания.

- **Роль параметров a и b :**

- **Параметр a :** Определяет высоту треугольного импульса. Увеличение a приводит к пропорциональному росту амплитуды как исходной функции, так и её Фурье-образа. Например, при $a = 5$ (Рис. 13) амплитуда спектра выше, чем при $a = 1$ (Рис. 9).
- **Параметр b :** Задаёт ширину основания треугольника. Увеличение b расширяет временной интервал, на котором функция отлична от нуля, что сужает основной лепесток спектра ($\sim \frac{1}{b}$). Например, при $b = 7$ (Рис. 15) спектр уже, чем при $b = 3$ (Рис. 13).

- **Принцип неопределённости Гейзенберга:**

- Проявляется в обратной связи между шириной импульса ($\Delta t = 2b$) и шириной основного лепестка спектра ($\Delta\omega \sim \frac{1}{b}$).
- Например, при $b = 6$ (Рис. 11) импульс шире ($\Delta t = 12$), а спектр уже ($\Delta\omega \approx 0.17$), тогда как при $b = 3$ (Рис. 13) импульс уже ($\Delta t = 6$), но спектр шире ($\Delta\omega \approx 0.33$).

- **Свойства преобразования Фурье:**

- **Линейность:** Амплитуда Фурье-образа пропорциональна a , что видно при сравнении графиков для $a = 1$ (Рис. 10) и $a = 5$ (Рис. 14).
- **Масштабирование:** Сужение импульса ($b \rightarrow 0$) расширяет спектр ($\Delta\omega \rightarrow \infty$), что демонстрирует дуальность времени и частоты. Например, при $b = 7$ (Рис. 16) спектр уже, чем при $b = 4$ (Рис. 10).

- **Изменения при варьировании параметров:**

- **Свойство линейности (параметр a):** Увеличение a повышает амплитуду импульса и спектра, сохраняя форму. Например, при $a = 4$ (Рис. 15) спектр в 4 раза выше, чем при $a = 1$ (Рис. 9).
- **Свойство масштабирования (параметр b):** Увеличение b расширяет импульс и сужает спектр. Например, при $b = 6$ (Рис. 11) спектр уже, чем при $b = 3$ (Рис. 13), несмотря на одинаковый параметр $a = 2$.

1.3 Кардинальный синус.

1.3.1 Аналитическое выражение оригинала функции.

Представим выражение исследуемой функции.

$$f(t) = a \operatorname{sinc}(bt)$$

1.3.2 Аналитическое выражение Фурье-образа функции.

Воспользуемся [таблицей](#) преобразований Фурье и приведем аналитическое выражение для Фурье-образа.

$$\hat{f}(\omega) = \frac{1}{\sqrt{2\pi}} \int_{-\infty}^{\infty} a \operatorname{sinc}(bt) e^{-i\omega t} dt = \frac{a}{|b|} \cdot \sqrt{\frac{\pi}{2}} \cdot \begin{cases} 1, & \left(\frac{b}{\omega}\right)^2 > 1 \\ 0, & \left(\frac{b}{\omega}\right)^2 \leq 1 \end{cases}$$

1.3.3 Построение графиков оригинала функции и ее Фурье-образа.

Представим графики оригинала функции $f(t)$ и Фурье-образа $\hat{f}(\omega)$ на основе уже известного набора [параметров](#).

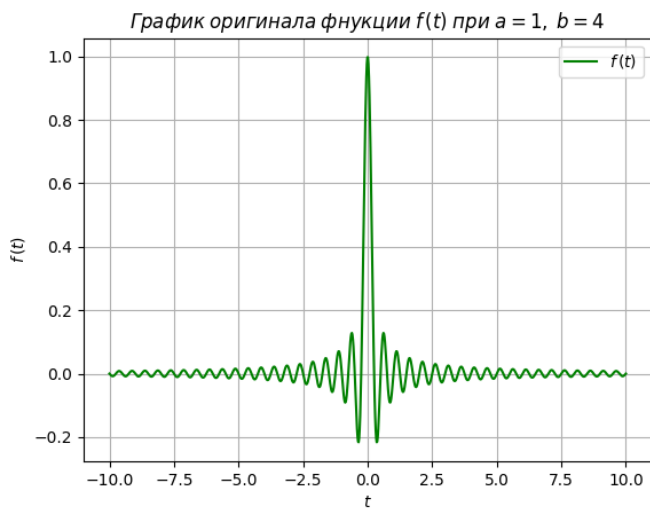


Рис. 17. График $f(t)$ при $a = 1$, $b = 4$.

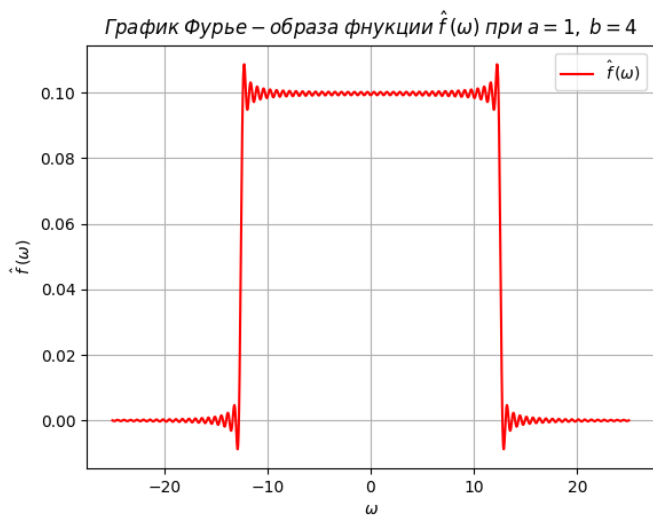


Рис. 18. График $\hat{f}(\omega)$ при $a = 1$, $b = 4$.

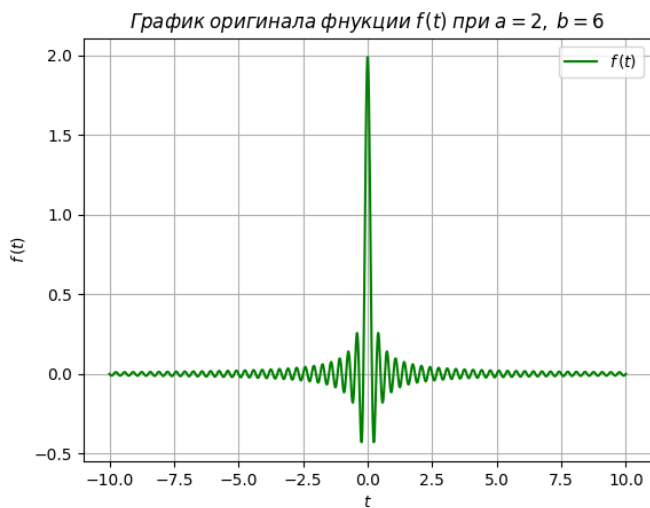


Рис. 19. График $f(t)$ при $a = 2$, $b = 6$.

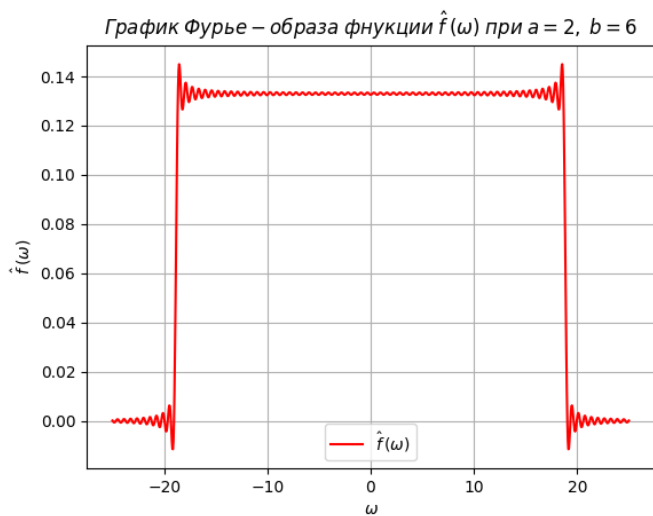


Рис. 20. График $\hat{f}(\omega)$ при $a = 2$, $b = 6$.

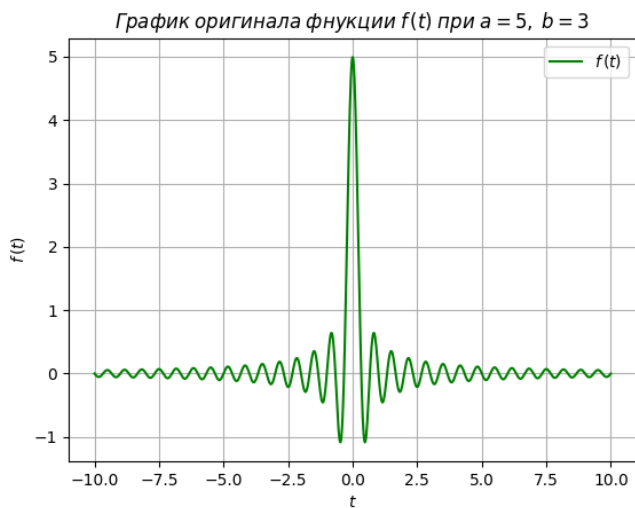


Рис. 21. График $f(t)$ при $a = 5$, $b = 3$.

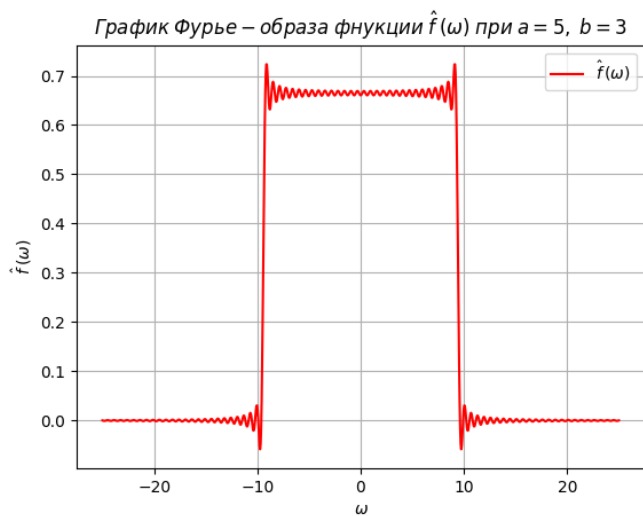


Рис. 22. График $\hat{f}(\omega)$ при $a = 5$, $b = 3$.

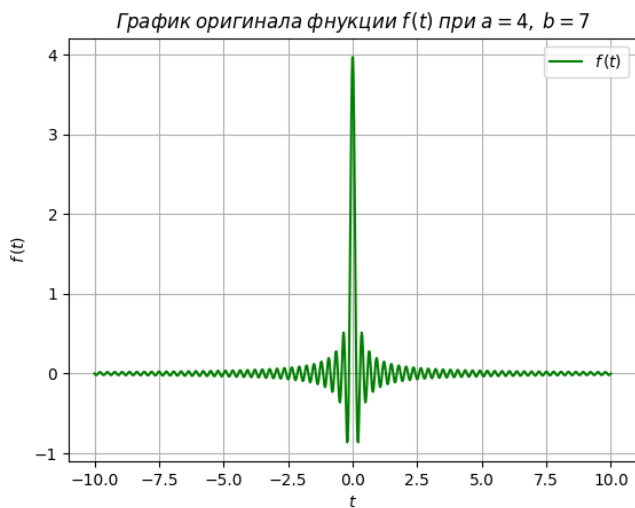


Рис. 23. График $f(t)$ при $a = 4$, $b = 7$.

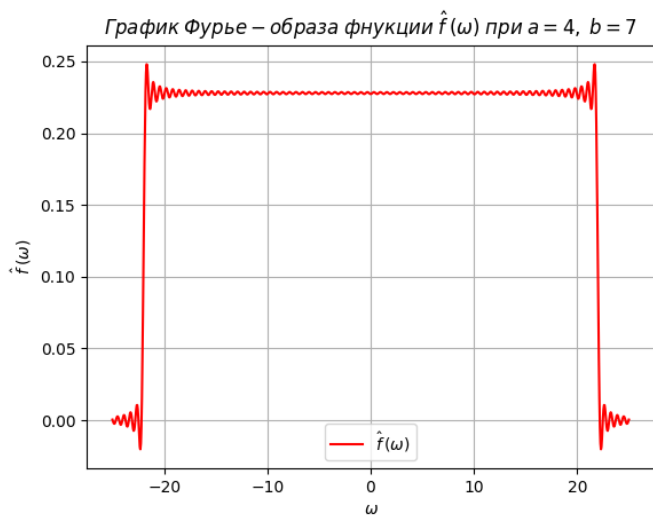


Рис. 24. График $\hat{f}(\omega)$ при $a = 4$, $b = 7$.

1.3.4 Проверка равенства Парсеваля.

Выполним проверку равенства Парсеваля при помощи программы, используя аналогичные этому [пункту](#) действия. Оформим результаты в виде [таблицы](#).

a	b	$\ f\ _2$	$\ \mathcal{F}f\ _2$
1	4	0.2494	0.2494
2	6	0.6655	0.6655
5	3	8.3052	8.3052
4	7	2.2824	2.0797

Таблица 3. Результаты проверки равенства Парсеваля.

Заметим, что значения для всех, кроме одного набора параметров, совпадают даже в четвертом знаке после запятой. Следовательно, равенство Парсеваля выполняется в данном случае с достаточной точностью.

1.3.5 Интерпретация результатов.

Охарактеризуем результаты, которые были получены в ходе выполнения данного пункта.

- **Роль параметров a и b :**

- **Параметр a :** Определяет амплитуду исходной функции $f(t) = a \cdot \text{sinc}(bt)$. Увеличение a пропорционально повышает амплитуду Фурье-образа ($\hat{f}(\omega) \propto a$), сохраняя форму спектра. Например, при $a = 5$ (Рис. [20](#)) спектр выше, чем при $a = 1$ (Рис. [17](#)).
- **Параметр b :** Регулирует ширину основного лепестка sinc-функции. Увеличение b сужает основной лепесток во временной области, что расширяет прямоугольный импульс в частотной области ($\Delta\omega \propto b$). Например, при $b = 7$ (Рис. [24](#)) спектр шире, чем при $b = 4$ (Рис. [18](#)).

- **Принцип неопределённости Гейзенберга:**

- Проявляется в обратной зависимости между шириной основного лепестка sinc-функции ($\Delta t \sim \frac{1}{b}$) и шириной спектра ($\Delta\omega \sim b$). Например, при $b = 3$ (Рис. [22](#)) спектр уже, чем при $b = 7$ (Рис. [24](#)).

- **Свойства преобразования Фурье:**

- **Линейность:** Амплитуда спектра прямо пропорциональна a , что подтверждает линейность преобразования. Например, при $a = 4$ (Рис. 23) спектр в 4 раза выше, чем при $a = 1$ (Рис. 17).
- **Дуальность:** sinc-функция и прямоугольный импульс являются взаимными Фурье-образами. Это фундаментальное свойство используется в задачах восстановления сигналов и фильтрации.

- **Изменения при варьировании параметров:**

- **Свойство линейности (параметр a):** Увеличение a не влияет на форму спектра, только на его масштаб. Например, спектры для $a = 2$ (Рис. 20) и $a = 1$ (Рис. 18) идентичны по форме, но отличаются амплитудой.
- **Свойство масштабирования (параметр b):** Увеличение b сужает sinc-функцию и расширяет спектр. Например, при $b = 6$ (Рис. 20) спектр шире, чем при $b = 4$ (Рис. 18).

1.4 Функция Гаусса.

1.4.1 Аналитическое выражение оригинала функции.

Запишем выражение рассматриваемой функции.

$$f(t) = ae^{-bt^2} = a \exp(-bt^2)$$

1.4.2 Аналитическое выражение Фурье-образа функции.

Запишем аналитическое выражение для Фурье-образа на основе [таблицы](#) преобразований Фурье.

$$\hat{f}(\omega) = \frac{1}{\sqrt{2\pi}} \int_{-\infty}^{\infty} ae^{-bt^2} dt = \frac{a}{\sqrt{2b}} \exp\left(-\frac{\omega^2}{4b}\right)$$

1.4.3 Построение графиков оригинала функции и ее Фурье-образа.

Изобразим графики оригинала функции $f(t)$ и Фурье-образа $\hat{f}(\omega)$ с применением предварительно указанных наборов значений [параметров](#).

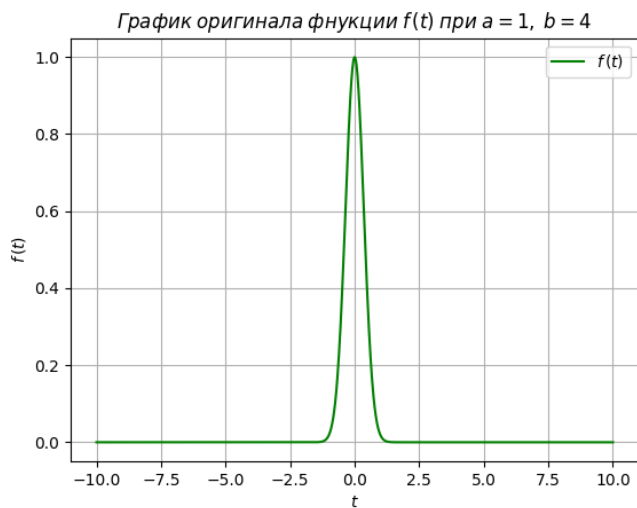


Рис. 25. График $f(t)$ при $a = 1$, $b = 4$.

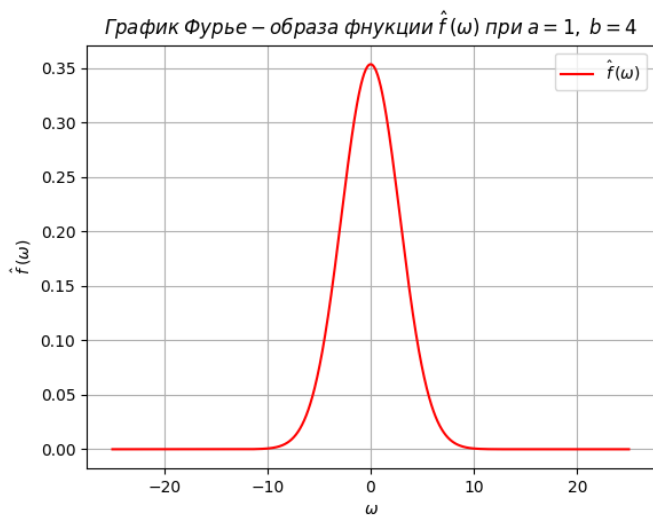


Рис. 26. График $\hat{f}(\omega)$ при $a = 1$, $b = 4$.

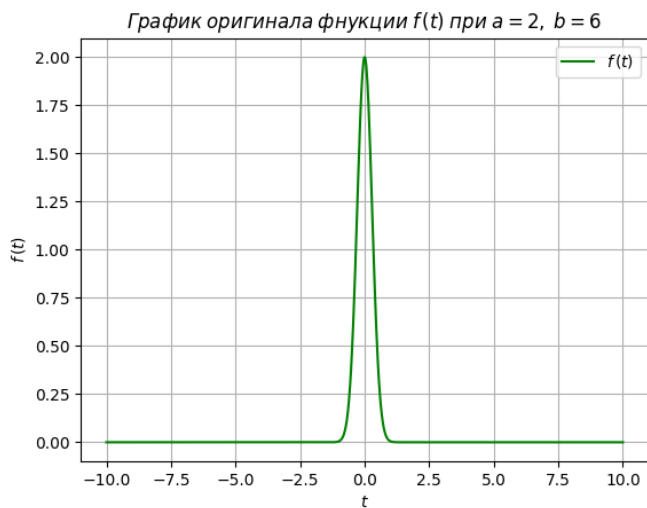


Рис. 27. График $f(t)$ при $a = 2$, $b = 6$.

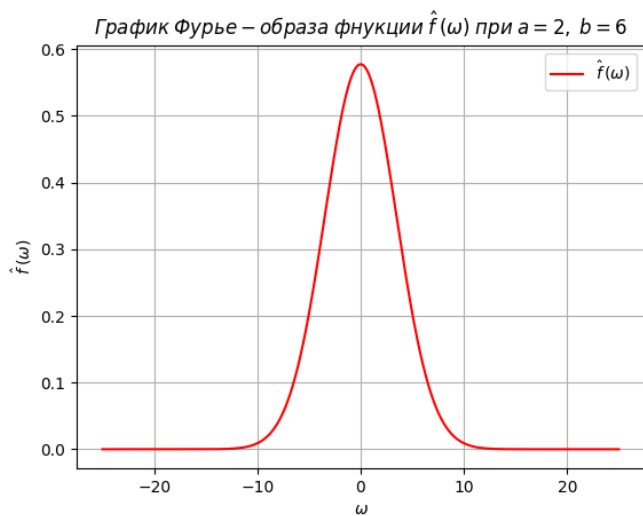


Рис. 28. График $\hat{f}(\omega)$ при $a = 2$, $b = 6$.

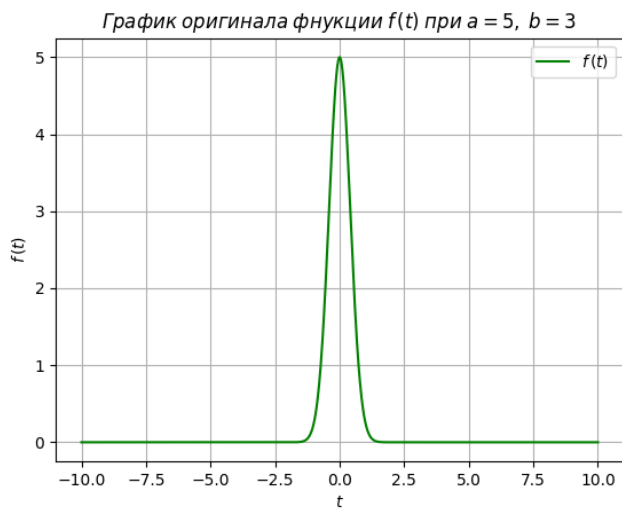


Рис. 29. График $f(t)$ при $a = 5$, $b = 3$.

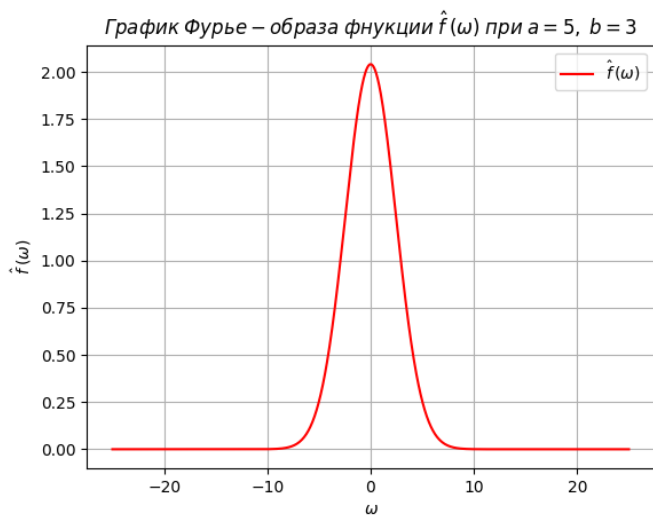


Рис. 30. График $\hat{f}(\omega)$ при $a = 5$, $b = 3$.

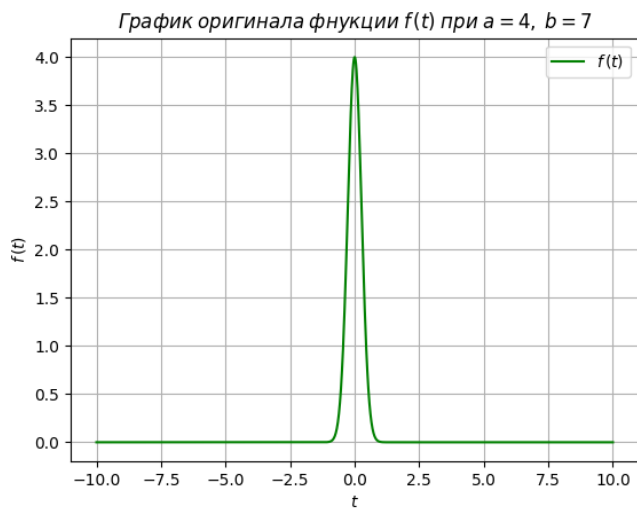


Рис. 31. График $f(t)$ при $a = 4$, $b = 7$.

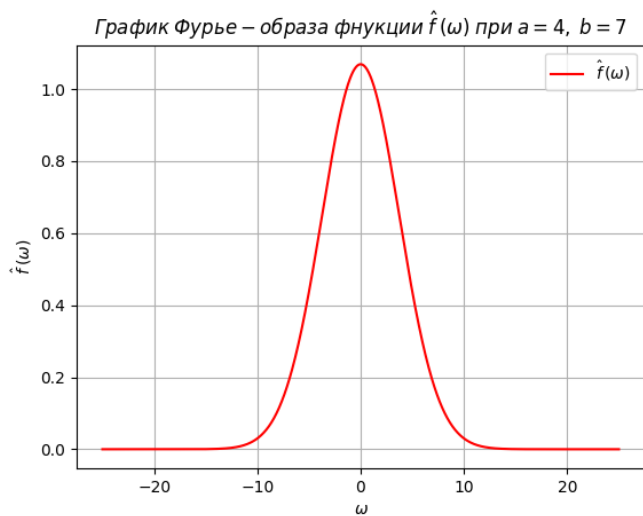


Рис. 32. График $\hat{f}(\omega)$ при $a = 4$, $b = 7$.

1.4.4 Проверка равенства Парсеваля.

Проверим равенство Парсеваля при помощи программы, делая те же шаги, что и в этом [пункте](#). Представим результаты в виде [таблицы](#).

a	b	$\ f\ _2$	$\ \mathcal{F}f\ _2$
1	4	0.6266	0.6266
2	6	2.0466	2.0466
5	3	18.0900	18.0900
4	7	7.5793	7.5793

Таблица 4. Результаты проверки равенства Парсеваля.

Заметим, что значения полностью совпадают при всех рассмотренных наборах параметров. Таким образом, равенство Парсеваля выполняется в данном случае с довольно высокой точностью.

1.4.5 Интерпретация результатов.

Отметим наблюдения, сделанные на основе выполнения данного пункта.

- **Роль параметров a и b :**

- **Параметр a :** Определяет амплитуду функции Гаусса $f(t) = ae^{-bt^2}$. Увеличение a пропорционально повышает значения как исходной функции, так и её Фурье-образа ($\hat{f}(\omega) \propto a$), сохраняя форму спектра. Например, при $a = 5$ (Рис. [29](#)) амплитуда в 5 раз выше, чем при $a = 1$ (Рис. [25](#)).
- **Параметр b :** Регулирует ширину Гауссова колокола. Увеличение b сужает импульс во временной области ($f(t)$ становится «острее»), что расширяет спектр в частотной области ($\Delta\omega \propto \sqrt{b}$). Например, при $b = 7$ (Рис. [31](#)) спектр шире, чем при $b = 4$ (Рис. [25](#)).

- **Принцип неопределённости Гейзенберга:**

- Увеличение b сужает импульс ($\Delta t \rightarrow 0$), но расширяет спектр ($\Delta\omega \rightarrow \infty$), и наоборот. Например, при $b = 3$ (Рис. [29](#)) импульс шире, а спектр уже, чем при $b = 7$ (Рис. [31](#)).

- **Свойства преобразования Фурье:**

- **Инвариантность:** Фурье-образ функции Гаусса также является Гауссовой функцией ($\hat{f}(\omega) = \frac{a}{\sqrt{2b}} e^{-\frac{\omega^2}{4b}}$), что подчёркивает её уникальную роль в теории преобразований.
- **Линейность:** Амплитуда спектра пропорциональна a , как видно из сравнения графиков для $a = 2$ (Рис. 27) и $a = 1$ (Рис. 25).
- **Масштабирование:** Сужение импульса ($b \rightarrow \infty$) расширяет спектр, что демонстрирует дуальность времени и частоты.

- **Изменения при варьировании параметров:**

- **Свойство линейности (параметр a):** Увеличение a не влияет на ширину импульса или спектра, только на их амплитуду. Например, при $a = 4$ (Рис. 31) спектр в 4 раза выше, чем при $a = 1$ (Рис. 25), но ширина остаётся неизменной.
- **Свойство масштабирования (параметр b):** Увеличение b сужает импульс и расширяет спектр. Например, при $b = 6$ (Рис. 27) спектр уже, чем при $b = 3$ (Рис. 29), несмотря на одинаковый $a = 2$.

Обратим внимание, что иногда функция Гаусса может полностью совпасть со своим Фурье-образом. Определим параметры, реализующие эту ситуацию.

$$f(t) = \hat{f}(\omega)$$

$$a \exp(-bt^2) = \frac{a}{\sqrt{2b}} \exp\left(-\frac{\omega^2}{4b}\right)$$

Здесь становится понятно, что на параметр a не накладывается никаких ограничений. Продолжим рассуждение.

$$\exp(-bt^2) = \frac{1}{\sqrt{2b}} \exp\left(-\frac{\omega^2}{4b}\right)$$

$$1 = \frac{1}{\sqrt{2b}} \exp\left(b^2 t - \frac{\omega^2}{4b}\right)$$

Запишем соответствующую систему.

$$\begin{cases} \sqrt{2b} = 1 \\ \exp\left(b^2t - \frac{\omega^2}{4b}\right) = 1 \end{cases} \quad \begin{cases} b = \frac{1}{2} \\ \left(b^2t - \frac{\omega^2}{4b}\right) = 0 \end{cases} \quad \begin{cases} b = \frac{1}{2} \\ \frac{t^2}{2} = \frac{\omega^2}{2} \end{cases} \quad \Rightarrow \quad \boxed{b = \frac{1}{2}}$$

Таким образом, функция Гаусса совпадает со своим Фурье-образом при любом значении параметра a и $b = \frac{1}{2}$, что подчёркивает её фундаментальное значение.

1.5 Двустороннее затухание.

1.5.1 Аналитическое выражение оригинала функции.

Приведем выражение исходной функции.

$$f(t) = ae^{-b|t|}$$

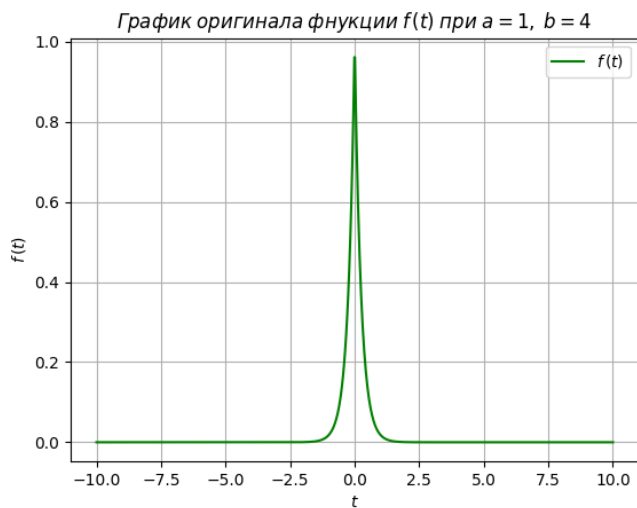
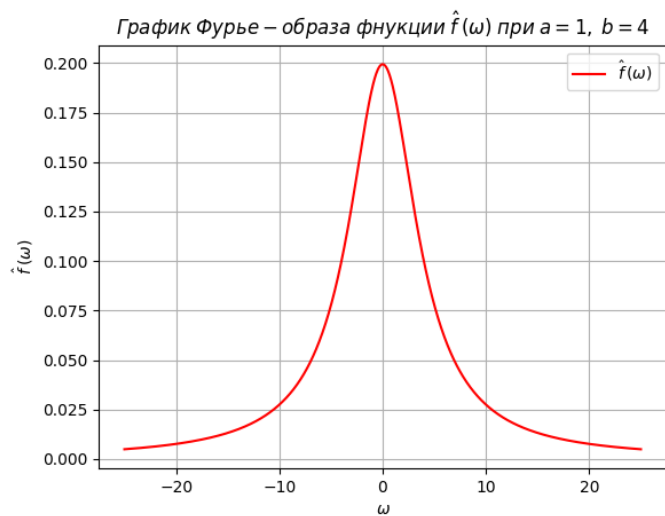
1.5.2 Аналитическое выражение Фурье-образа функции.

Сконструируем аналитическое выражение Фурье-образа рассматриваемой функции.

$$\begin{aligned}\hat{f}(\omega) &= \frac{1}{\sqrt{2\pi}} \int_{-\infty}^{\infty} f(t)e^{-i\omega t} dt = \frac{1}{\sqrt{2\pi}} \int_{-\infty}^{\infty} ae^{-b|t|}e^{-i\omega t} dt = \\ &= \frac{a}{\sqrt{2\pi}} \left(\int_{-\infty}^0 e^{(b-i\omega)t} dt + \int_0^{\infty} e^{-(b+i\omega)t} dt \right) = \\ &= \frac{a}{\sqrt{2\pi}} \left(\left. \frac{e^{(b-i\omega)t}}{b-i\omega} \right|_{-\infty}^0 + \left. \frac{e^{-(b+i\omega)t}}{-(b+i\omega)} \right|_0^{\infty} \right) = \\ &= \frac{a}{\sqrt{2\pi}} \left(\frac{1}{b-i\omega} + \frac{1}{b+i\omega} \right) = \\ &= \frac{a}{\sqrt{2\pi}} \cdot \frac{b+i\omega + b-i\omega}{b^2 + \omega^2} = \frac{2ab}{\sqrt{2\pi}(b^2 + \omega^2)}\end{aligned}$$

1.5.3 Построение графиков оригинала функции и ее Фурье-образа.

Приведем графики оригинала функции $f(t)$ и Фурье-образа $\hat{f}(\omega)$, используя рассмотренный ранее набор [параметров](#).

Рис. 33. График $f(t)$ при $a = 1$, $b = 4$.Рис. 34. График $\hat{f}(\omega)$ при $a = 1$, $b = 4$.

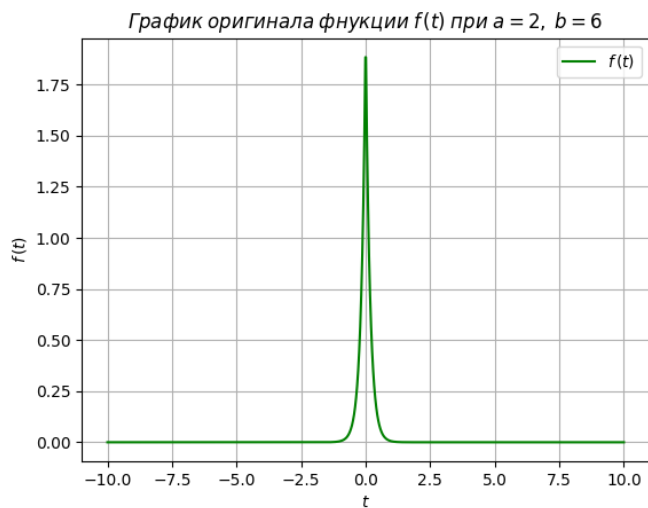


Рис. 35. График $f(t)$ при $a = 2$, $b = 6$.

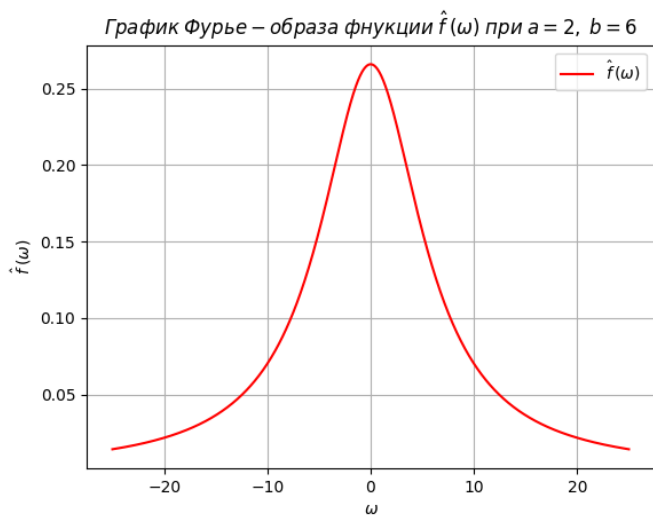


Рис. 36. График $\hat{f}(\omega)$ при $a = 2$, $b = 6$.

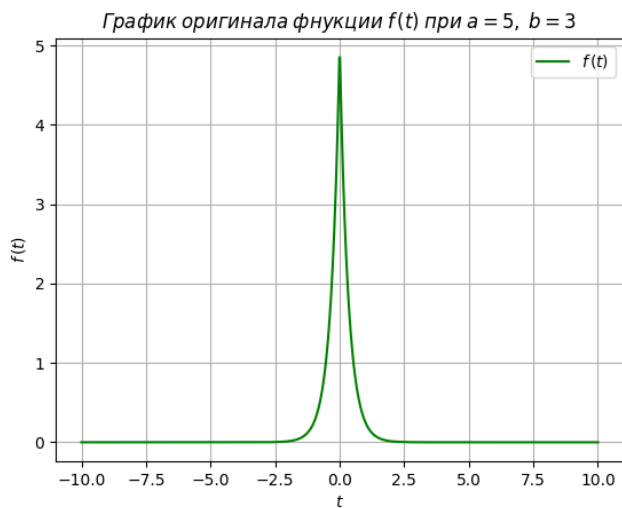


Рис. 37. График $f(t)$ при $a = 5$, $b = 3$.

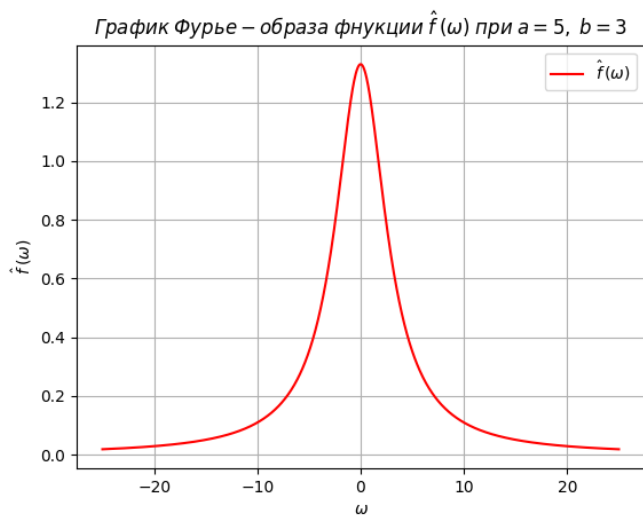


Рис. 38. График $\hat{f}(\omega)$ при $a = 5$, $b = 3$.

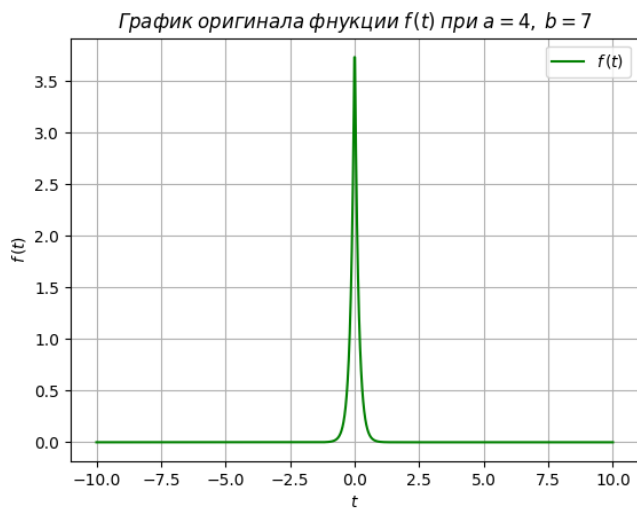


Рис. 39. График $f(t)$ при $a = 4$, $b = 7$.

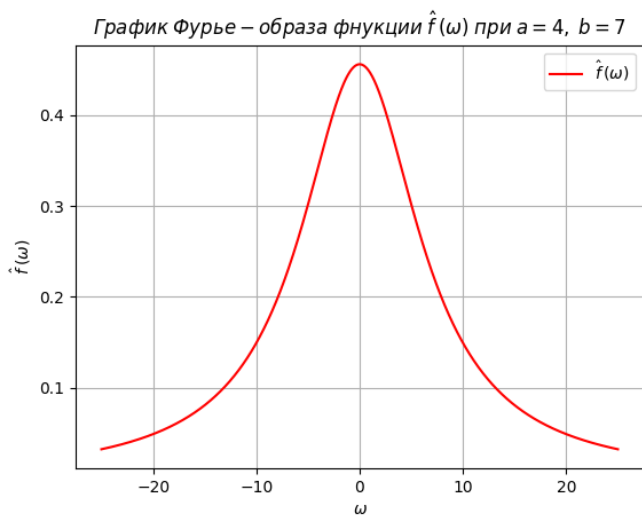


Рис. 40. График $\hat{f}(\omega)$ при $a = 4$, $b = 7$.

1.5.4 Проверка равенства Парсеваля.

Проведем проверку равенства Парсеваля с помощью программы и действий аналогичных этому [пункту](#). Приведем результаты в виде [таблицы](#).

a	b	$\ f\ _2$	$\ \mathcal{F}f\ _2$
1	4	0.2497	0.2490
2	6	0.6651	0.6585
5	3	8.3283	8.3171
4	7	2.2783	2.2436

Таблица 5. Результаты проверки равенства Парсеваля.

Заметим, что значения совпадают с точностью до сотых. Следовательно, равенство Парсеваля выполняется в данном случае с достаточной точностью.

1.5.5 Интерпретация результатов.

Сделаем выводы на основе выполнения данного пункта.

- **Роль параметров a и b :**

- **Параметр a :** Определяет амплитуду исходной функции $f(t) = ae^{-b|t|}$. Увеличение a пропорционально повышает значения как функции во временной области, так и амплитуду Фурье-образа ($\hat{f}(\omega) \propto a$). Например, при $a = 5$ (Рис. 37) спектр выше, чем при $a = 1$ (Рис. 33).
- **Параметр b :** Регулирует скорость затухания функции. Увеличение b ускоряет затухание во времени (импульс становится «уже»), что расширяет спектр в частотной области ($\Delta\omega \propto b$). Например, при $b = 7$ (Рис. 39) спектр шире, чем при $b = 4$ (Рис. 33).

- **Принцип неопределённости Гейзенберга:**

- Проявляется в обратной зависимости между временной локализацией ($\Delta t \sim \frac{1}{b}$) и шириной спектра ($\Delta\omega \propto b$). Например, при $b = 3$ (Рис. 37) импульс шире ($\Delta t \approx 0.67$), а спектр уже ($\Delta\omega \approx 3$), тогда как при $b = 7$ (Рис. 39) импульс уже ($\Delta t \approx 0.29$), но спектр шире ($\Delta\omega \approx 7$).

- **Свойства преобразования Фурье:**

- **Линейность:** Амплитуда Фурье-образа пропорциональна a , что подтверждается графиками для $a = 2$ (Рис. 35) и $a = 1$ (Рис. 33).
- **Дуальность затухания:** Экспоненциальное затухание во времени соответствует функции Лоренца в частотной области

$$\left(\hat{f}(\omega) = \frac{2ab}{\sqrt{2\pi}(b^2 + \omega^2)} \right),$$

что характерно для сигналов с «тяжёлыми хвостами».

- **Равенство Парсеваля:** Энергия сигнала сохраняется ($\|f\|_2 = \|\hat{f}\|_2$), что подтверждается таблицей 5.

- **Изменения при варьировании параметров:**

- **Свойство линейности (параметр a):** Увеличение a не влияет на форму спектра, только на его масштаб. Например, спектры для $a = 4$ (Рис. 39) и $a = 1$ (Рис. 33) идентичны по форме, но отличаются амплитудой.
- **Свойство масштабирования (параметр b):** Увеличение b сужает импульс и расширяет спектр. Например, при $b = 6$ (Рис. 35) спектр шире, чем при $b = 4$ (Рис. 33), несмотря на одинаковый $a = 2$.

1.6 Выводы.

Зафиксируем выводы, которые можно сделать после выполнения данного задания лабораторной работы:

1. Преобразование Фурье является мощным инструментом для анализа сигналов, позволяющим переходить от временного представления к частотному и изучать спектральные характеристики функций.
2. Параметры функций a и b оказывают влияние на их форму: a определяет амплитуду, а b – ширину импульса или скорость затухания.
3. Равенство Парсеваля $\|f\|_2 = \|\mathcal{F}f\|_2$ подтвердило сохранение энергии сигнала при преобразовании Фурье. Результаты проверки для всех рассмотренных функций показали совпадение энергий с высокой точностью.
4. Принцип неопределенности Гейзенберга проявляется в обратной зависимости между функцией во временной области и шириной её спектра частот: сужение импульса во времени приводит к расширению частотного диапазона и наоборот.
5. Прямоугольная функция демонстрирует Фурье-образ в виде функции $\text{sinc}(\omega)$, что подтверждает двойственность преобразования Фурье для прямоугольных и кардинальных волн.
6. Функция Гаусса обладает уникальным свойством: при $b = \frac{1}{2}$ она совпадает со своим Фурье-образом, что подчеркивает её значимость в теории преобразований.
7. Треугольная функция имеет Фурье-образ с более гладким затуханием по сравнению с прямоугольной, что связано с отсутствием резких разрывов в исходной функции.
8. Для кардинального синуса $\text{sinc}(bt)$ Фурье-образ представляет собой прямоугольный импульс, ширина которого обратно пропорциональна параметру b .
9. Двустороннее затухание $ae^{-b|t|}$ имеет Фурье-образ, который убывает с увеличением частоты ω , что демонстрирует связь между скоростью затухания функции во временной области и шириной её спектра в частотной области.
10. Метод трапеций, использованный для интегрирования, показал высокую точность при расчете Фурье-образов и проверке равенства Парсеваля.

2 Задание 2. Комплексное.

В задании используется унитарное преобразование Фурье к угловой частоте ω .

Используем в данном задании функцию двустороннего затухания.

$$f(t) = ae^{-b|t|}$$

Зафиксируем набор параметров a и b .

$$a = 2, \quad b = 6$$

Рассмотрим сдвинутую функцию $g(t) = f(t+c)$ и проведем исследование ее Фурье-образа.

$$g(t) = f(t+c) = 2 \cdot e^{-6|t+c|} \quad (4)$$

2.1 Аналитическое выражение для Фурье-образа.

Найдем аналитическое выражение для Фурье-образа рассматриваемой функции при помощи формулы (1).

$$\begin{aligned} \hat{g}(\omega) &= \frac{1}{\sqrt{2\pi}} \int_{-\infty}^{\infty} g(t) e^{-i\omega t} dt = \frac{2}{\sqrt{2\pi}} \int_{-\infty}^{\infty} e^{-6|t+c|} \cdot e^{-i\omega t} dt = \\ &= \frac{2}{\sqrt{2\pi}} \left(\int_{-\infty}^{-c} e^{(6+6c-i\omega)t} dt + \int_{-c}^{\infty} e^{(-6-6c-i\omega)t} dt \right) = \\ &= \frac{2}{\sqrt{2\pi}} \left(e^{6c} \int_{-\infty}^{-c} e^{(6-i\omega)t} dt + e^{-6c} \int_{-c}^{\infty} e^{(-6-i\omega)t} dt \right) = \\ &= \frac{2e^{-6c}}{\sqrt{2\pi}} \left(e^{12c} \int_{-\infty}^{-c} e^{(6-i\omega)t} dt + \int_{-c}^{\infty} e^{(-6-i\omega)t} dt \right) = \\ &= \frac{2e^{-6c}}{\sqrt{2\pi}} \left(e^{12c} \cdot \left. \frac{e^{(6-i\omega)t}}{6-i\omega} \right|_{-\infty}^{-c} - \left. \frac{e^{-(6+i\omega)t}}{6+i\omega} \right|_{-c}^{\infty} \right) = \end{aligned}$$

$$\begin{aligned}
&= \frac{2e^{-6c}}{\sqrt{2\pi}} \left(e^{12c} \cdot \frac{e^{-(6-i\omega)c}}{6-i\omega} + \frac{e^{(6+i\omega)c}}{6+i\omega} \right) = \\
&= \frac{2e^{-6c}}{\sqrt{2\pi}} \left(\frac{e^{(6c+i\omega c)}}{6-i\omega} + \frac{e^{(6c+i\omega c)}}{6+i\omega} \right) = \\
&= \frac{2}{\sqrt{2\pi}} \left(\frac{e^{i\omega c}}{6-i\omega} + \frac{e^{i\omega c}}{6+i\omega} \right) = \\
&= \frac{2}{\sqrt{2\pi}} \left(\frac{6e^{i\omega c} + i\omega e^{i\omega c} + 6e^{i\omega c} - i\omega e^{i\omega c}}{36 + \omega^2} \right) = \frac{24e^{i\omega c}}{\sqrt{2\pi}(36 + \omega^2)}
\end{aligned}$$

2.2 Построение графиков оригинала функции.

Выберем 4 различных значения параметра c .

$$C = \{-1, 1, -2, 3\}$$

Построим графики оригинала функции $g(t)$ и проанализируем влияние параметра c на оригинал.

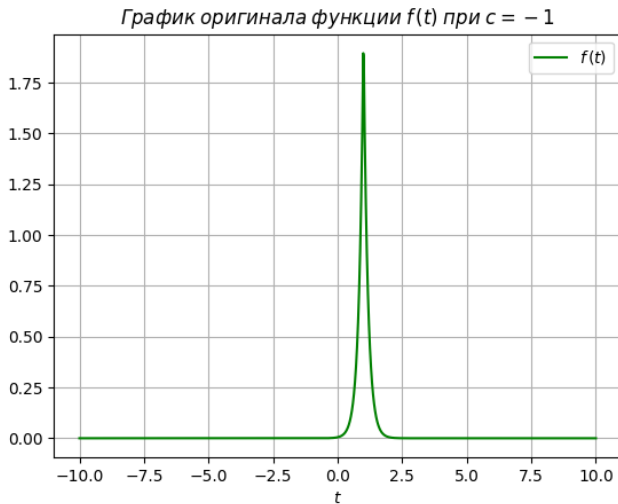
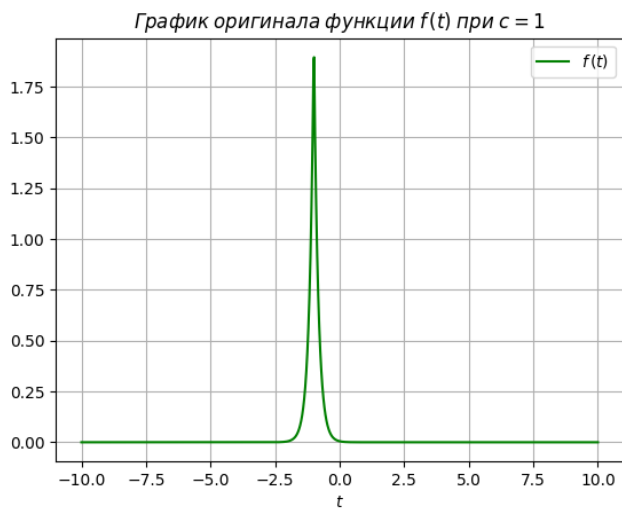
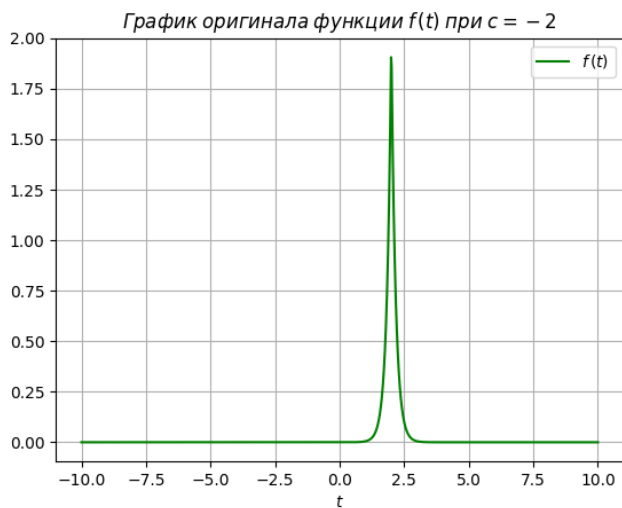


Рис. 41. График $g(t)$ при $c = -1$.

Рис. 42. График $g(t)$ при $c = 1$.Рис. 43. График $g(t)$ при $c = -2$.

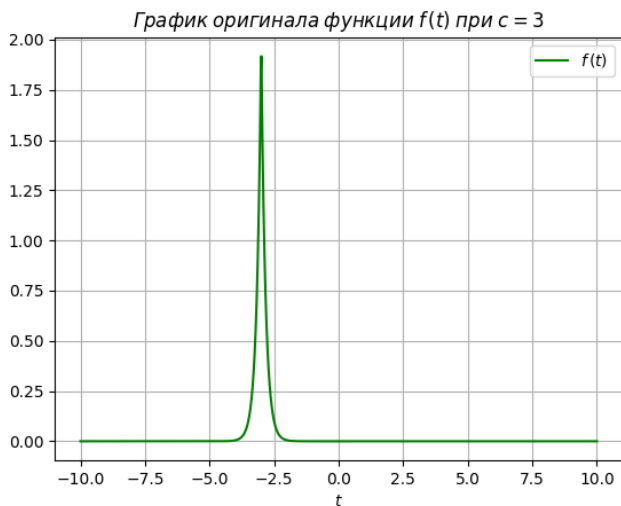


Рис. 44. График $g(t)$ при $c = 3$.

Оценим влияние параметра c на график функции $g(t)$.

- **Горизонтальный сдвиг:**

- Параметр c смещает график функции вдоль оси t .
- При $c > 0$ график сдвигается влево на c единиц.
- При $c < 0$ график сдвигается вправо на $|c|$ единиц.

- **Форма графика:**

- Форма функции остаётся неизменной: симметричный экспоненциальный спад относительно новой точки пика $t = -c$.
- Коэффициент b в экспоненте ($e^{-b|t+c|}$) определяет скорость затухания: чем больше b , тем круче спад. Параметр c не влияет на скорость затухания.

- **Особенности:**

- В точке $t = -c$ функция имеет максимум, а её производная терпит разрыв из-за модуля.

– График сохраняет симметрию относительно $t = -c$.

• **Практическое значение:**

– Параметр c позволяет моделировать временные задержки сигналов. Например, в задачах обработки данных сдвиг c может соответствовать моменту возникновения события.

Таким образом, параметр c управляет положением пика функции на временной оси, не изменяя её форму или скорость затухания.

2.3 Построение графиков вещественной и мнимой компонент Фурье-образа.

Построим графики вещественной и мнимой компонент Фурье-образа, а затем проанализируем, как параметр c влияет на них.

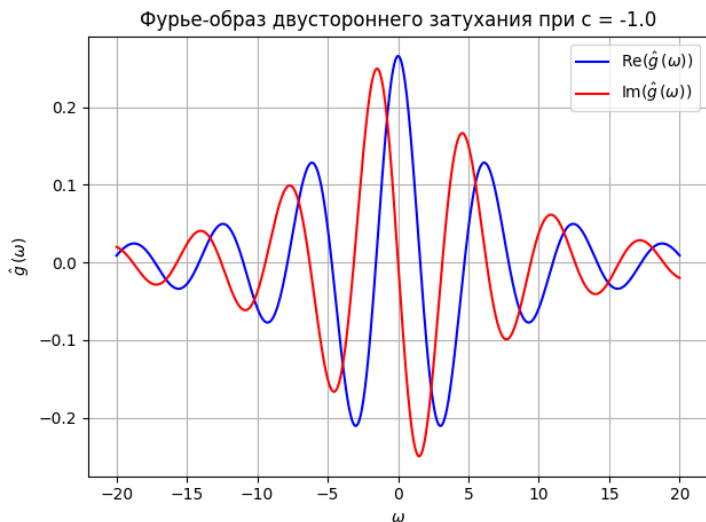


Рис. 45. График $\hat{g}(\omega)$ при $c = -1$.



Рис. 46. График $\hat{g}(\omega)$ при $c = 1$.



Рис. 47. График $\hat{g}(\omega)$ при $c = -2$.

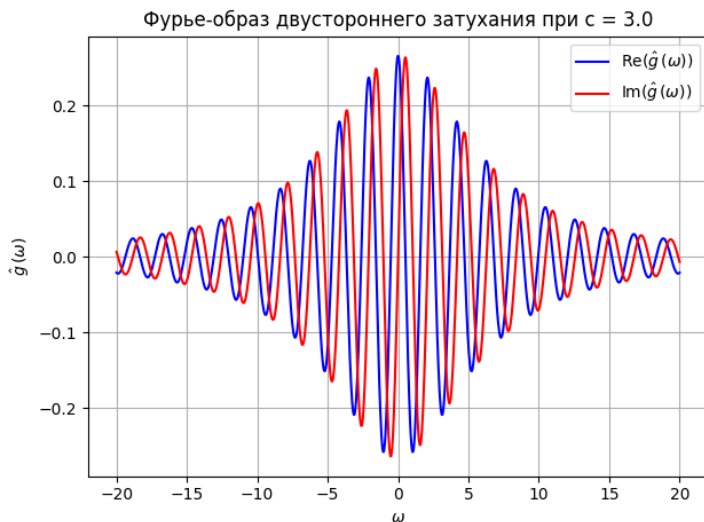


Рис. 48. График $\hat{g}(\omega)$ при $c = 3$.

Отметим следующее влияние параметра c на вещественную и мнимую компоненты Фурье-образа.

- **Фазовый сдвиг:** Параметр c вносит фазовый множитель $e^{-i\omega c}$ в Фурье-образ, что изменяет распределение вещественной ($\text{Re}(\hat{g}(\omega))$) и мнимой ($\text{Im}(\hat{g}(\omega))$) компонент.
- **Симметрия:**
 - * При $c \neq 0$ симметрия нарушается, что приводит к появлению ненулевой мнимой компоненты.
- **Пример:** Для $c = 1$ и $c = -1$ вещественные компоненты зеркальны, а мнимые противоположны по знаку.

2.4 Построение графиков модуля Фурье-образа.

Теперь построим графики модуля Фурье-образа, чтобы оценить влияние параметра c на них.



Рис. 49. График $|\hat{g}(\omega)|$ при $c = -1$.



Рис. 50. График $|\hat{g}(\omega)|$ при $c = 1$.

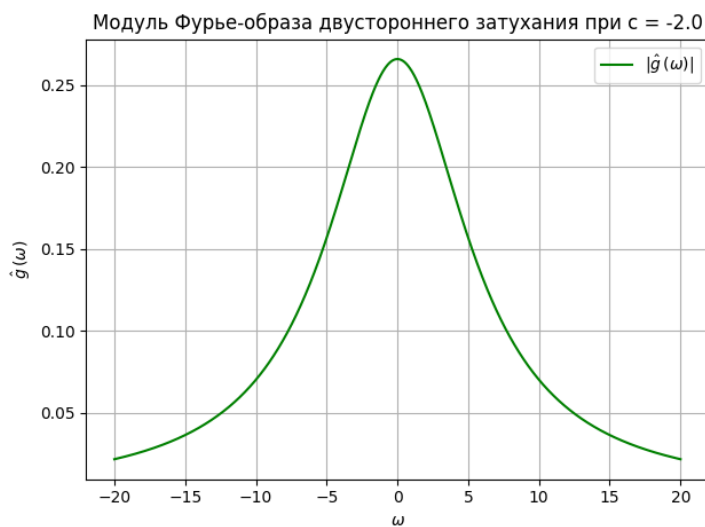


Рис. 51. График $|\hat{g}(\omega)|$ при $c = -2$.



Рис. 52. График $|\hat{g}(\omega)|$ при $c = 3$.

Зафиксируем, как параметр c влияет на график модуля Фурье-образа.

- **Инвариантность:** Модуль $|\hat{g}(\omega)|$ остаётся неизменным при любом c , так как фазовый множитель $e^{-i\omega c}$ не влияет на амплитуду.
- **Подтверждение:** На графиках модуля для разных c (например, $c = -1$, $c = -2$, $c = 3$) кривые совпадают.
- **Анализ через свойства преобразования Фурье:**
 - **Сдвиг во времени:** $g(t + c) \leftrightarrow e^{-i\omega c} \hat{g}(\omega)$.
 - **Модуль:** $|e^{-i\omega c} \hat{g}(\omega)| = |\hat{g}(\omega)|$.
 - **Фаза:** $\arg(e^{-i\omega c} \hat{g}(\omega)) = \arg(\hat{g}(\omega)) - \omega c$.

2.5 Выводы.

Сформулируем выводы, которые можно сделать по результатам выполнения данного задания.

1. Влияние сдвига (c):

- Сдвиг функции во времени ($g(t) = f(t + c)$) вносит фазовый множитель $e^{-i\omega c}$ в Фурье-образ, изменяя вещественную и мнимую компоненты, но не затрагивая модуль спектра.

2. Модуль Фурье-образа:

- Инвариантен к временным сдвигам (c), что позволяет анализировать амплитудные характеристики сигнала независимо от его положения на временной оси.

3. Экспоненциальное затухание:

- Двустороннее затухание $ae^{-b|t|}$ имеет Лоренцианоподобный спектр, характерный для систем с диссипацией энергии.

4. Вещественная и мнимая компоненты Фурье-образа:

- Вещественная компонента ($\text{Re}(\hat{f}(\omega))$) отражает вклад косинусоидальных гармоник, а мнимая ($\text{Im}(\hat{f}(\omega))$) — синусоидальных.
- Временной сдвиг ($c \neq 0$) нарушает симметрию, приводя к появлению ненулевой мнимой компоненты и асимметрии вещественной.

5. Фазовый множитель и временной сдвиг:

- Сдвиг c во временной области проявляется как умножение Фурье-образа на фазовый множитель $e^{-i\omega c}$. Это приводит к:
 - Линейному накоплению фазы $\arg(\hat{g}(\omega)) \rightarrow \arg(\hat{g}(\omega)) - \omega c$;
 - Возникновению асимметрии в вещественной и мнимой компонентах спектра, что используется в фазовой модуляции и синхронизации сигналов.

3 Задание 3. Музыкальное.

В данном задании используется преобразование Фурье к обыкновенной частоте ν .

Выберем аккорд 13 для использования. Обработаем запись и построим график $f(t)$.

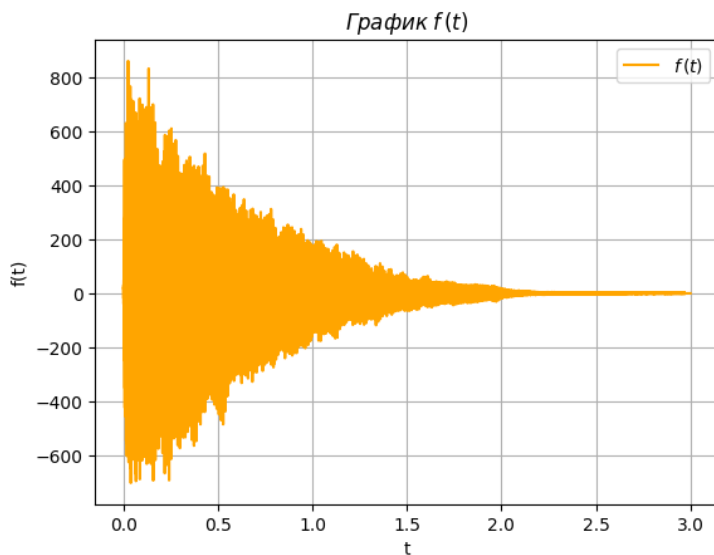


Рис. 53. График файла "Аккорд (13).тр3".

Найдем Фурье-образ $\hat{f}(\nu)$ при помощи численного интегрирования и программных средств, а затем построим график $|\hat{f}(\nu)|$.

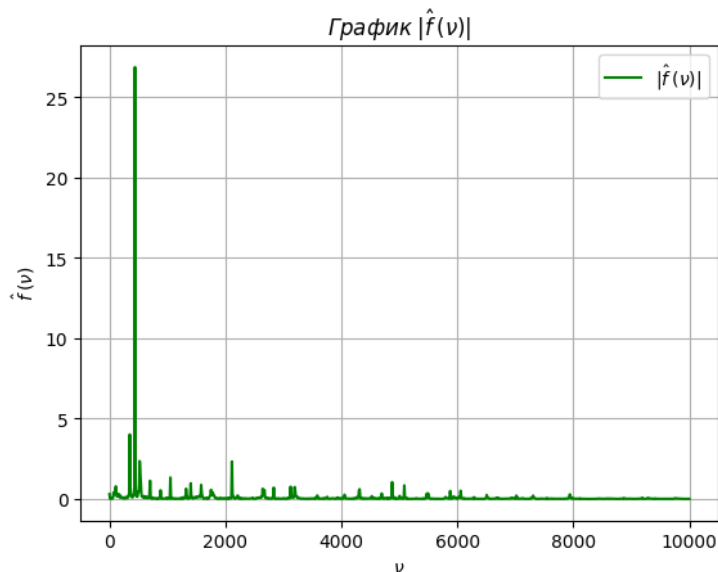


Рис. 54. График $|\hat{f}(\nu)|$.

Проанализируем график модуля Фурье-образа и найдем основные частоты, присутствующие в аккорде. Затем соотнесем частоты с музыкальными нотами при помощи [таблицы](#) соответствия нот и частот. Сделаем вывод о том, из каких нот составлен аккорд. Самым высоким пикам на графике соответствуют частоты: 440, 350 и 530 Гц. Следовательно, можно сделать вывод о соответствии нот. Наиболее подходящие ноты:

- **A** *Ля первой октавы* (частота 440.00 Гц).
- **F** *Фа первой октавы* (частота 350 Гц).
- **C** *До второй октавы* (частота 530 Гц).

3.1 Выводы

Сформулируем вывод на основе выполнения данного задания.

1. **Идентификация основных частот и нот:** Преобразование Фурье позволяет точно определить доминирующие частоты в аудиосигнале, что используется для распознавания нот, аккордов и инструментов. Например, частота 440 Гц соответствует ноте Ля (А4), а анализ спектра помогает выделить составные части сложных музыкальных фрагментов.
2. **Анализ гармоник и тембра:** Спектральное разложение выявляет обертоны и гармоники, формирующие уникальный тембр инструмента или голоса. Это критично для синтеза реалистичных звуков и изучения акустических характеристик.
3. **Фильтрация и очистка сигнала:** Частотное представление позволяет применять фильтры (низкочастотные, высокочастотные) для подавления шумов, удаления артефактов или выделения целевых компонентов.
4. **Сжатие аудиоданных:** Алгоритмы сжатия (MP3, AAC) используют Фурье-анализ для удаления малозаметных частот, сохраняя воспринимаемую слухом информацию. Это сокращает размер файлов без значительной потери качества.
5. **Визуализация и анализ звуковых волн:** Спектрограммы, построенные на основе преобразования Фурье, дают наглядное представление о динамике частот во времени. Это применяется в аудиоредакторах (Audacity, Ableton) и научных исследованиях акустических явлений.

4 Выводы по лабораторной работе

Сформулируем общие выводы, которые можно сделать после выполнения лабораторной работы:

1. Роль параметров a и b :

- Параметр a определяет амплитуду исходной функции, пропорционально влияя на амплитуду Фурье-образа. Например, для прямоугольной функции увеличение a повышает высоту импульса и максимум спектра.
- Параметр b регулирует ширину импульса во временной области. Увеличение b расширяет интервал, на котором функция отлична от нуля, что сужает основной лепесток Фурье-образа (например, для прямоугольной функции $\text{sinc}(\omega b)$).

2. Равенство Парсевала:

- Для всех рассмотренных функций (прямоугольной, треугольной, Гаусса и др.) равенство $\|f\|_2 = \|\mathcal{F}f\|_2$ выполняется с высокой точностью, подтверждая сохранение энергии при преобразовании Фурье.

3. Принцип неопределённости Гейзенберга:

- Проявляется в обратной зависимости между шириной импульса (Δt) и шириной спектра ($\Delta \omega$), что иллюстрирует компромисс между временной и частотной локализацией.

4. Свойства преобразования Фурье:

- **Линейность:** Амплитуда Фурье-образа пропорциональна a , что подтверждено для всех функций.
- **Дуальность:** Прямоугольный импульс и sinc-функция являются взаимными образами, а функция Гаусса совпадает со своим образом при $b = \frac{1}{2}$.

5. Влияние временного сдвига (c):

- Сдвиг $g(t) = f(t + c)$ вносит фазовый множитель $e^{-i\omega c}$, изменяя вещественную и мнимую компоненты спектра, но не затрагивая модуль. Например, для $c = 1$ и $c = -1$ мнимые компоненты противоположны по знаку.

6. Особенности функций:

- **Треугольная функция:** Имеет более гладкий спектр по сравнению с прямоугольной из-за отсутствия разрывов.
- **Кардинальный синус:** Соответствует прямоугольному импульсу в частотной области, ширина которого обратно пропорциональна b .
- **Функция Гаусса:** Единственная функция, совпадающая со своим Фурье-образом при $b = \frac{1}{2}$.

7. Методы численного интегрирования:

- Использование метода трапеций показало высокую точность при вычислении Фурье-образов, что подтверждается совпадением соответствующих результатов.

8. Анализ музыкального аккорда:

- Преобразование Фурье позволило выделить основные частоты (440 Гц, 350 Гц, 530 Гц), соответствующие нотам Ля (A4), Фа (F4) и До (C5), что демонстрирует практическое применение метода в обработке звука.

9. Практическая значимость:

- Результаты работы могут быть использованы в задачах фильтрации сигналов, сжатия данных, синтеза звука и анализа спектральных характеристик.

10. Инвариантность модуля:

- Модуль Фурье-образа остаётся неизменным при временных сдвигах, что позволяет анализировать амплитудные характеристики сигнала независимо от его положения во времени.

Приложение

```

1 import numpy as np
2 import matplotlib.pyplot as plt
3
4
5 def rectangle_func(t, a, b):
6     if abs(t) <= b:
7         return a
8     return 0
9
10 def triangle_func(t, a, b):
11     if abs(t) <= b:
12         return a - abs(a*t/b)
13     return 0
14
15 def cardinal_sin(t, a, b):
16     return a*np.sinc(b*t)
17
18 def gauss_func(t, a, b):
19     return a*np.exp(-b*t**2)
20
21 def bilateral_func(t, a, b):
22     return a*np.exp(-b*abs(t))
23
24
25 a=1
26 b=4
27 tvals = np.linspace(-10, 10, 1000)
28 omega = np.linspace(-25, 25, 1000)
29
30 #rectangle = [rectangle_func(t, a, b) for t in tvals]
31 #yvals = [cardinal_sin(t, a, b) for t in tvals]
32
33 F_omega = np.zeros(len(omega), dtype=complex)
34 fs = [bilateral_func(t, a, b) for t in tvals]
35
36 for i in range(len(omega)):
37     integrand = fs * np.exp(-1j * omega[i] * t)
38     F_omega[i] = np.trapz(integrand, t) / np.sqrt(2 * np.pi)
39
40 #plt.plot(tvals, yvals, color='green', label=r'$f\,(t)$')
41 plt.plot(omega, F_omega, color='red', label=r'$\hat{f}\,(\omega)$')
42 # plt.xlabel(r'$t$')
43 # plt.ylabel(r'$f\,(t)$')
44 plt.xlabel(r'$\omega$')
45 plt.ylabel(r'$\hat{f}\,(\omega)$')
46 plt.legend()
47 #plt.title(fr'$График \; оригинала \; функции \; f\,(t) \; при \; a$')

```

```
    = {a}, \; b = {b}$')
48 plt.title(fr'$График \; Фурье-образа \; функции \; \hat{f} \, (\omega$
    ) \; при \; a = {a}, \; b = {b}$')
49 plt.grid()
50 plt.show()
```

Листинг 1. Программа, используемая для построения графиков оригинала функции и ее Фурье-образа.

```
1 def parseval_check(f, t, omega):
2     """
3     Проверяет равенство Парсеваля
4     """
5     # Энергия во временной области
6     energy_time = np.trapz(np.abs(f(t))**2, t)
7
8     # Фурье-образ
9     F_omega = fourier_transform(f, t, omega)
10
11    # Энергия в частотной области
12    energy_freq = np.trapz(np.abs(F_omega)**2, omega)
13
14    return energy_time, energy_freq
15
16 # Параметры
17 T = 10.0          # Пределы интегрирования по времени [-T, T]
18 N_t = 1000        # Количество точек по времени
19 omega_max = 20.0  # Максимальная частота
20 N_omega = 1000    # Количество точек по частоте
21 a = 1
22 b = 4
23
24 # Сетки времени и частоты
25 t = np.linspace(-T, T, N_t)
26 omega = np.linspace(-omega_max, omega_max, N_omega)
27
28 # Выбор функции для проверки
29 f = lambda t: rectangle_func(t, a, b)
30
31 # Проверка равенства Парсеваля
32 energy_time, energy_freq = parseval_check(f, t, omega)
33
34 # Результаты
35 print(f"Энергия во временной области: {energy_time:.5f}")
36 print(f"Энергия в частотной области: {energy_freq:.5f}")
37 print(f"Разница: {abs(energy_time - energy_freq):.5e}")
```

Листинг 2. Программа для проверки равенства Парсеваля.